



Isıtma, Soğutma, Havalanırm, Klima, Yangın ve Sıhhi Tesisat Dergisi / HVAC, Refrigeration, Fire Fighting and Sanitary Journal

Temel Bilgiler, Tasarım ve Uygulama Eki/  
Fundamentals of HVAC Design & Application Appendix

Sayı / Number: 38

**TTMD**

Adına Sahibi / Owner on Behalf of TTMD  
Abdullah BİLGİN

Sorumlu Yazı İşleri Müdürü /  
Responsible Editorial Manager  
H.Bora TÜRKmen

Genel Yayın Yönetmeni /  
Chief of Editorial Manager  
Prof.Dr. T. Hikmet KARAKOÇ

**Yayın Kurulu / Editorial Board**

Gürkan ARI  
Onur BAŞOKUR  
Abdullah BİLGİN  
Aytekin ÇAKIR  
Dr.Ibrahim ÇAKMANUS  
Remzi ÇELİK  
Mustafa ÇETİN  
Selfinaz ÇILDİR  
Faruk CİMEN  
Ali Rıza DAĞLIOĞLU  
Yrd.Doç.Dr. Hüseyin GÜNERHAN  
Murat GÜRENLİ  
Ender İREN  
Prof.Dr. T. Hikmet KARAKOÇ  
Serhan MUMCU  
Refet Doruk OFLAZ  
Nazif ÖZAKINCI  
Züleyha ÖZCAN  
Seden ÇAKIROĞLU ÖZTEKER  
Yesim PORTAKAL  
Serkan UZUN  
İsmet TANER ÜNLÜ  
Onur TUĞA  
H.Bora TÜRKmen  
Fuzuli TOPAL  
Cafer ÜNLÜ

**Dergi Yayın Sorumlusu /**  
**Responsible for Publication**  
Gülten ACAR  
İlkıncı ALTINBAŞ

**Iletişim / Contact Info**  
Ankara: Bestekar Sk. Çimen Apt. No:15/2  
06680 Kavaklıdere  
Tel: 0 312 419 45 71 - 419 45 72  
Faks: 0 312 419 58 51  
web: [www.ttmd.org.tr](http://www.ttmd.org.tr)  
e-mail: [ttmd.istanbul@ttmd.org.tr](mailto:ttmd.istanbul@ttmd.org.tr)

**TTMD Yönetim Kurulu /**  
**Executive Board of TTMD**  
Abdullah BİLGİN (Başkan)  
Prof. Dr. Abdurrahman KILIÇ (Başkan Yrd.)  
Fevzi ÖZEL (Başkan Yrd.)  
Hırran KALATAŞ (Başkan Yrd.)  
Dr. İbrahim ÇAKMANUS (Genel Sekreter)  
Aytekin ÇAKIR (Muhabis Üye)  
Cafer ÜNLÜ (Üye)  
Levent ALATLI (Üye)  
Handan ÖZGEN (Üye)  
Gürkan ARI (Üye)  
Tufan TUNC (Üye)  
Murat GÜRENLİ (Üye)  
Tunç KORUN (Üye)

60. sayının ekidir.

## Binalarda Duman Çekme Sistemlerinin Boyutlandırılması (\*)

## Engineering Methods for the Dimensioning of Systems for the Removal of Smoke from Buildings

Çeviren: Mak. Yük. Müh. Nejat Demircioğlu

### Giriş

Karmaşık bina projelerinin yanından korunma düzenlemelerine uygunluğunu doğrularken, giderek artan biçimde mühendislik düzeyinde hesaplar kullanılmaktadır. Bu yöntemler, boyutlandırma amacıyla yanın eğrilerini ve diğer varsayımları kullanır. Bu düzenleme kılavuz kitabı, bu eğrilerin altında yatan temelleri ve dayandığı matematiksel formülleri açıklamaktadır. Kullanılan matematik, bir yanından zaman içerisinde yayılan ışığı ve duman miktarını belirlemeye olanak vermektedir. Yangın yüküne özgü riske bağlı olarak, bu değerler sprinklerin etkinleştirilmesi dikkate alınarak veya alınmayarak açıklanabilir. Böylece, yanından korunma düzenlemelerine uygunluğun düzenlenmesi ile ilgili mühendislik düzeyindeki hesaplamalar birbirile karşılaştırılabilir.

Bu vesile ile bu kılavuz kitabı hazırlanmasına değerli katkılarında bulunanlara teşekkür etmek istiyoruz.

### 1. Kapsam ve Amaç

Bu kılavuz kitabı, yanın eğrilerini dikkate alarak, özel tür ve kullanılmış binalardaki (özel kullanılmış binalar) duman kontrol sistemlerine uygulanır. Kitap, boyutlandırmada (VDI 6029 Bölüm 2) mühendislik düzeyindeki hesaplamaların potansiyel uygulama ve sınırlamalarıyla birlikte bu hesaplardaki karşılaşması gereken hususlara da işaret etmekte, etkinliğin doğrulanması için yol göstermektedir.

Bu doküman, dumana karşı güvenli kaçış yolları sağlayabilen güvenlik amaçlı basıncılandırma ve basınçlı su sistemleri gibi tesisatlarla ilgili değildir.

Binalara ek olarak bu kitabı, örneğin yeraltı trafiğe (tüneller gibi) ve taşıma araçlarına (yük gemileri gibi) da uygulanabilir niteliktedir. Bölüm 3'de verilen ve yanın eğrilerinin belirlenmesinde kullanılan boyutlandırma yöntemi, yanın düzenlemelerine uygunluğun doğrulanmasında da kullanılabilir (örneğin bina elemanlarının ışıl analizi) DIN 18232'de verilenlerin dışındaki yanın eğrilerinin düşünüldüğü yerlerde, bina geometrisinin karmaşık olduğu (örneğin atriuma giriş yapan açık galeriler durumu) veya olaya dahil olan herhangi bir özel hususun dikkate alınması gereken yerlerde, VDI Bölüm 2'de verilen yöntemler, duman atma sistemlerinin boyutlandırılmasında kullanılabilecektir.

**ÜNTES ISITMA KLİMA SOĞUTMA SAN. VE TİC. A.Ş.'NİN  
KATKILARIYLA YAYINLANMAKTADIR**

(\*) VD Guideline 6019: VDI - TGA'nın yazılı iznizne istinaden tercüme edilmiştir.

## 1.1. Korunma Hedefleri ve Tehlike Değerlendirmesi

Özel tür ve kullanımdaki binalardan (özel amaçlı binalar) duman ve ısı egzozu yanından korunmanın önemli bir kısmını oluşturur.

Duman egzoz tesisatları temel korunma hedeflerini gerçekleştirmeye çalışır:

- Personelin kaçışına olanak sağlayan koşulların yaratılması,
- Yangın söndürme ekibinin (kurtarma, yangın yayılmasını önlemeye ve yanıyla savaşım ekibi) yanına karşı aldığı önlemleri desteklemek,
- Malların, tesisatların ve bina kısımlarının yıpranmasını sınırlamak.

Bu korunma amaçlarına ek olarak, duman veisinin alınması binaya ve binanın işlevsel güvenirliğini korumaya da yardım eder. Yangın tehlikelerinin ve duman dağılımının değerlendirilmesi kesinlikle yanının gelişimine bağlıdır. Böylece temelde yanın başlangıcı, yanının ilerlemesi ve tam yanın gelişimi değerlendirme ile ilgilidir.

İlk aşama kural olarak, binanın yüze dayanma performansı üzerinde çok küçük bir etkiye sahipken, bu aşamada aşağı çıkan duman nedeniyle içerisinde bulunan insanların önemli yaşamal tehlike ile karşılaşması olanaklıdır. Bu, özellikle dumanın önemli miktarda zehirli ve yipraticı gazlar içermesi ve görüş kapsamını daraltması nedeniyedir. Bu nedenle duman egzozu için bu aşamada alınan önlemlere gerek vardır.

Kural olarak, tam gelişkin haldeki yanın aşaması yanın odasından duman egzozu değerlendirilmesinde daha az bir öneme sahiptir. Belirli bir yükseklik ve zaman aralığında, kurtarma ve yanıyla mücadele etkinlikleri için gerekli olan alanları ve pasajları da içeren kaçış yolları sadece küçük bir miktar duman taşıyabilir. Bu varsayıldığından 30 dakikadan az olmayan bir zaman sürecinde, dumansız tabaka;

1. 2.5 m veya daha fazla bir yüksekliğe sahiptir ( $h:2.5$  m; insanlar tarafından ulaşılabilen ve işgal edilen alandan ölçülür),
2. Dumansız tabakada ortalama sıcaklık  $<70^\circ$  olarak kalır (jet etkisini de içeren hava sıcaklığı),
3. Görüşü kısıtlayan ve zehirli gazların minimal miktarını taşıır.

NOT: Kararları etkileyebilen diğer kriterler için VDI 6019 Kısım 2'ye başvurulabilir.

## 1.2. Duman Kontrol Kavramları

Amaca uygun olarak yukarıda belirlenen hedefleri sağlamak üzere tüm duman kontrol sistemi aşağıdaki işlevleri yerine getirmeli:

- Yanının erken fark edilmesi ve sistemlerin etkinleştirilmesi,
- Duman gazi akışlarının kontrolü,
- Duman yayılmasının kısıtlanması,
- Dışsal etkileyici (örneğin rüzgar) ve içsel etkileyici (havalandırma ve iklimlendirme sistemleri) faktörlerden bağımsız olarak çalışabilmesi,
- Alarmı çalıştırmak (isteğe bağlı).

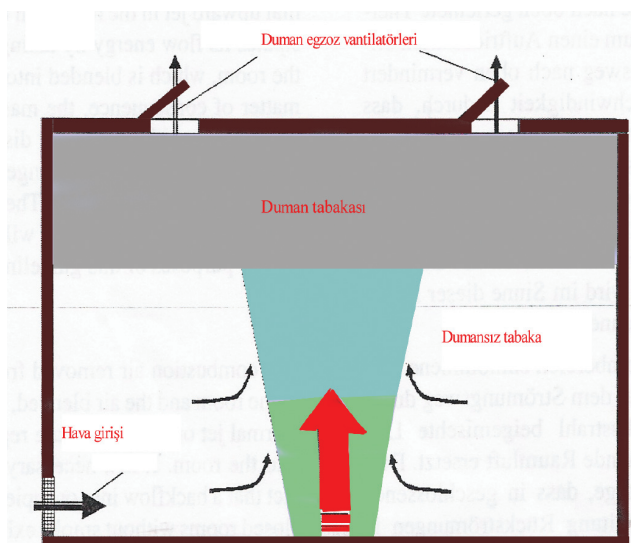
Doğal ve/veya güç kullanan (mekanik) duman ve ısı egzoz sistemleri arasında bir fark gözetilmelidir.

## 1.3. Boyutlandırmanın Temelleri

Bir yangın, ısı ve yanma ürünlerinin çıkışmasına (kaynak terim) neden olur (katı parçacıklar, sıvı ve gaz elemanlar). Alev bölgesi, konveksiyonla hareket eden havayı içeri çeker. Bu, odada yukarı doğru bir ıslı jet oluşumuyla sonuçlanır. Yukarı doğru çıkışken, bu jet oda havasını içine çekerek kendisiyle karışan bu havaya akış enerjisini aktarır. Sonuç olarak, alınan yol (gezinti uzaklığı) arttıkça jetin hacmi ve kütlesi de artar. Bu etki, jetin sınır bölgesindeki momentum değişimi ile tahrik edilir. Bunun sonucunda ortaya çıkan hava ve yanma ürünleri karışımı duman gazı olarak adlandırılacaktır. Odanın alçak kısımlarından çekilen yanma havası ve indüksiyon yoluyla yukarı doğru çıkmakta olan jetle harmanlanan hava, odaya doğru akan havayla yer değiştirir. Bunun zorunlu bir sonucu olarak egzoz bulunmayan odalarda geriye, meskun alanlara doğru bir akış ortaya çıkmalıdır. Aynı durum, egzoz içeren fakat hava giriş'i için açıklık bulunmayan yerler için de doğrudur. Geriye doğru akışın zaman içerisindeki gelişmesi, temelde geometrik sınır koşullarına ve açığa çıkan ısı miktarına bağlıdır.

Dumansız bir tabakayı koruyarak kaçış yollarındaki duman kontrolü sadece duman gazlarının tavandan aşağı doğru geri akışının önlenmesiyle olanaklıdır. Özünde bu duman gazlarını tavana yakın bir yerden çekeren, döşeme düzeyinden kirlenmemiş hava verilerek başırılabilir (besleme havası).

Belirtilen korunma hedefini gerçekleştirmek için gerekli hava akımı kütlesel denge temelinde belirlenmelidir. Çekilen duman gazlarının kütlesi kirlenmemiş hava kütlesi ile yer değiştirmelidir. Odada hava giriş'i bırakılan açıklıkların yeri, konumu, boyutları duman kontrolünün kalitesi üzerinde önemli bir etkiye sahiptir. Örneğin bu hava giriş açıklıkları döşemeden çok yüksek yerleştirildiğinde sorunlar ortaya çıkar. Hava giriş açıklıkları duman tabakasıyla aynı düzeyde ise, beslenen hava duman havasının bir bölümünü döşeme yakınındaki bölüme doğru itecektir. Hava girişlerinde örneğin, yetersiz yüzey alanları nedeniyle ortaya çıkan aşırı giriş hızları, duman hızmasını dağitarak aşağıya, insanların bulunduğu bölgeye doğru süpurebilir.



Sekil 1. Duman kontrol sisteminin şeması.



Bu risk özellikle duman gazı sıcaklığının oda sıcaklığından çok az yüksek olduğu yangının ilk aşamalarında söz konusudur. Hava girişin içi olan açıklıklar, örneğin binanın yan cephelerinde ve birbirinden uzakta ise, rüzgar odada çapraz hava akımlarına yol açabilir.

## 2. Terimler ve Tanımlar

### Aerodinamik serbest alan (Aerodynamic free area), $A_w$

Duman egzozunun aerodinamik serbest alanı, doğal duman egzoz biriminin geometrik yüzey alanı  $A_g$  ile, rüzgar etkisini dikkate alarak ( $C_{vw}$ ) veya ihmali ederek ( $C_{v0}$ ) dış rüzgar etkisinin çarpımıdır.

### Boşaltım katsayısı (Discharge coefficient), $C_v$

Akış katsayıısı  $C_{v0}$  (çapraz rüzgarın etkisini ihmali ederek) ya da  $C_{vw}$  (ruzgar etkisini dikkate alarak), örneğin EN 12101-2 EK B'ye göre rüzgar tünelinde belirlenen ve doğal duman çekme birimlerinin geometrik yüzey açıklık alanından etkili düşey kesit alanını hesaplamakta kullanılan bir katsayıdır.

### Geometrik alan (Geometrical area), $A_g$

Duvar veya tavan düzleminde serbest kesit alanı.

### Mekanik duman egzoz fanı (Mechanical smoke exhaust ventilator)

Mekanik duman egzoz vantilatörü, yaklaşık sabit hacimli olarak dumanı çeker. İşlevi, diğer hususlarla birlikte, fanların performansına, kanal tesisatına, giriş ve egzoz açıklıklarının sayısına ve konumlarına, bina geometrisine, duman depolamasının (reservoir) aktivasyon ve büyülüğüne bağlıdır.

### Doğal duman egzoz fanı (Natural smoke exhaust ventilator)

Doğal duman egzoz fanı duman gazlarının ısıl kaldırma etkisine dayanır. İşlevleri diğer hususlarla birlikte, duman egzozu etkili efektif aerodinamik kesit alanına, bina geometrisine, çalışma türü ve zamanına ve duman depolanmasının büyülüğüne bağlıdır.

### Hüzme (Plume)

Yangın alanı üzerinde yukarıya doğru olan ısıl jeti ifade eder.

### Duman zonu, $A_R$

Duman zonu, tavanın altında duman perdeleri ya da bina elemanları tarafından sınırlanılan yangın durumunda duman gazlarının yatay dağılımını sarmalar.

### Duman perdesi (Smoke curtain)

En azından alttaki duman tabakasını içerecek biçimde tavandan oda-ya doğru uzanan esnek (örneğin, güçlendirilmiş cam fiberi) hareketli veya sabit (duman geçirmez malzemeler) yapılar.

Bunlar alevin yatay dağılımını sınırlamak (teknik gereklilikler EN 12101-1'de bulunabilir) için kullanılır.

### Duman ve ısı kontrol sistemi (Smoke and heat control system)

Duman ve ısı kontrol sistemi duman egzozu için birlikte gerek duyulan elemanları (mekanik duman egzoz vantilatörü, hava giriş açıklıkları, duman perdeleri ve bunların enerji ve kontrol sistemleri de dahil) içerir.

## 3.Yangın Eğrileri

### 3.1. Yöntemin Açıklaması

#### 3.1.1. Genel

Bu kitabın amaçları yönünden duman kontrol sistemleri yangın senaryoları temelinde boyutlandırılır. Bunlar temelde değişik yöntemler kullanılarak belirlenen zamana bağlı olan yangın eğrilerine dayanır. Bu kitap yangın eğrilerinin belirlenmesinde bir yöntem ortaya koymaktadır. Bu, örneğin açığa çıkan duman gazı kütlesinin belirlenmesinde temel alınır. Seçilen mühendislik yöntemleri (VDI 6019 Kasım 2'ye bakınız) kullanarak ve bunlarla ilgili uygulama sınırları dikkate alınarak duman kontrol sisteminin boyutlandırılması bu işlemlerde dayandırılır.

Yangın eğrileri yangın senaryolarının gerekli elemanlardır. Farklı yangın aşamalarının niteliksel belirlemelerine ek olarak, açığa çıkan ısı miktarına ve yangın alanına göre gerçek yangın olaylarının zaman içerisinde gelişimiyle ilgili teknik karakteristiklerinin niceliksel belirlemelerine de gerek bulunmaktadır. Bu karakteristik eğrilerin tanımlanması bu kitapta verilen bilgilere dayandırılırsa da, örneğin aşağıdaki gibi diğer yangın eğrilerinin kullanımı da temel alınabilir;

- Temsili yangın testleri (5. bölümde de bakınız),
- Yanma modelleri (örneğin, CFD modülleri),
- Zon modellerinin bir kısmı olarak yangın dağılım modelleri,
- Diğer kurallar,
- Örneğin bina denetimi gibi bazı özel koşulların konulması.

#### 3.1.2. Uygulama Sınırları

Bu kitap katıların yandığı yatay alanları varsayılmaktadır; boyutlandırma amacıyla yangındaki alan, yangındaki odanın alanından küçük olmalıdır. Yine, yangının gelişiminde otomatik yangın söndürme sistemlerinin hesaplanmasıyla olanak veren matematiksel yaklaşımlar da yapılmıştır.

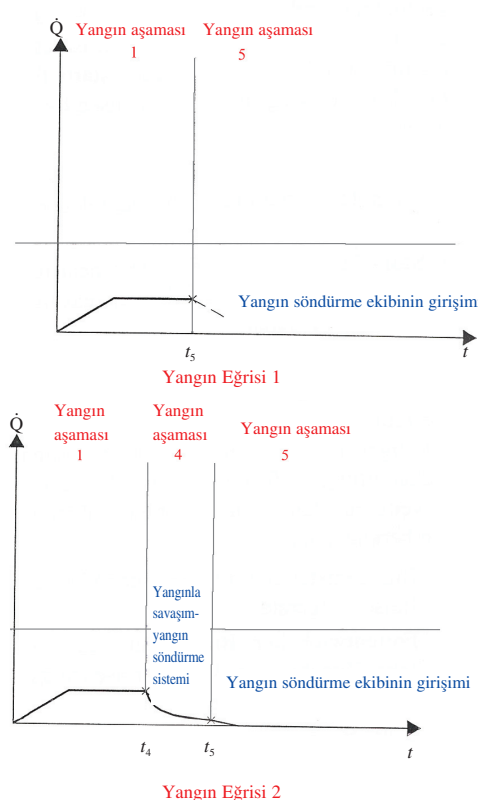
Bu yöntem, sıvıların yanmasını temel alan ve kararlı biçimde alevin düşey gelişiminden etkilenen yangınlar (örneğin rafların yanması) için uygun değildir. Ayrıca bu kitapta açıklanan yöntemin, ani alevlenme ya da oksijen bakımından fakir çevrelerdeki hava almayan yangınlar için bir tahmin olağanlığı vermediğine de dikkat edilmelidir. Bu durumlarda, uygunluğun doğrulanması için bu durumlara uyan yangın eğrilerinin belirlenmesi için uygun zon modellerine veya CFD temelli yangın simülasyon modelleri gibi diğer yöntemlere dayanan hesaplamalar temel alınmalıdır.

### 3.2. Yangının Gelişimi ve Yangın Aşamaları

#### 3.2.1. Genel

Doğal bir yangının zaman içerisinde gelişimi birkaç aşamayla nitelendirilebilir. Bir yangın; içten içe yanma, ilk alevli yanma, yangının gelişmesi ve yangının sona ermesi gibi değişik aşamalarдан geçer. Yangının gelişmesi, boyutlandırmada kullanılan hesaplama yöntemlerinde yaklaşık olarak ele alınmış ve değişik yangın aşamaları açısından ifade edilerek basitleştirme yönünde gidilmiştir.

Isı çıkışının zaman içerisindeki değişmesi, yangın yükünün dağılımına, yangının yatay olarak ortalama ilerleme hızına, havalandırma koşullarına, herhangi bir otomatik yangın söndürme sisteminin etkin-



**Sekil 2.** Düşük -enerjili yangınlar için farklı yanım eğrileri  $[Q(t)]$ .

leşme zamanına ve yanım söndürme ekibinin çalışmaya başladığı zamana bağlıdır. Değerlendirme yönünden aşağıdaki yanım aşamaları kullanılır:

- Aşama 1: Düşük ısı çıkışıyla ilk yanım aşaması,
- Aşama 2: Isı çıkışısı ve yanım alanının zamanın karesiyle değiştiği yanımın gelişme aşaması,
- Aşama 3: Sabit bir ısı çıkışısı ve yanım alanıyla devam eden yanım aşaması,
- Aşama 4: Otomatik yanım söndürme sisteminin etkinleştirtiği kont-

rol altına alınan yanım aşaması,

- Aşama 5: Söndürme ekibinin mücadele verdiği yanım aşaması. Duman gazi kütlesinin değişik sınır koşulları altında yersel dağılımını daha ayrıntılı biçimde belirlemek için, aşağıdaki yanım gelişim türleri ele alınır:
- Düşük enerjili yanınlar: Düşük ısı çıkışıyla gelişen yanınlar,
- Yüksek enerjili yanınlar: Yüksek ısı çıkışıyla gelişen yanınlar, Düşük enerjili yanınlar ve yüksek enerjili yanınlar için değişik yanım aşamaları söz konusudur.

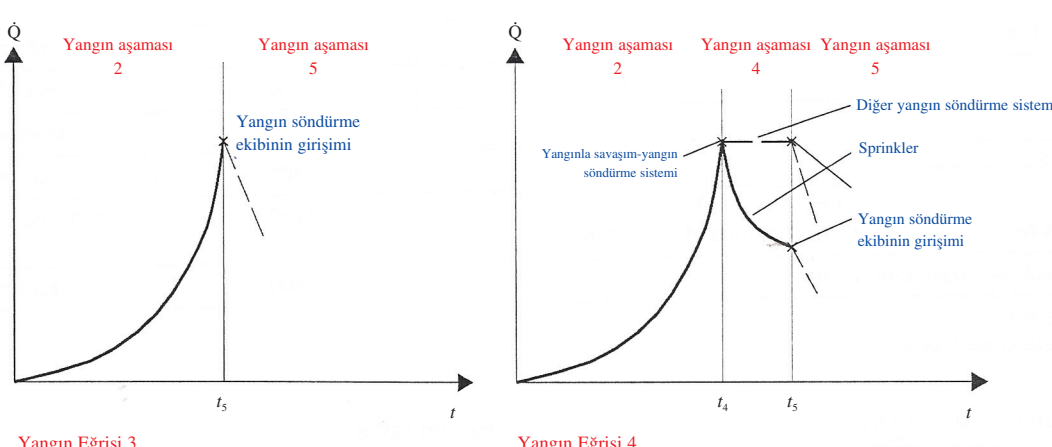
### 3.2.2. Düşük Enerjili Yanınlar İçin Yanım Eğrileri

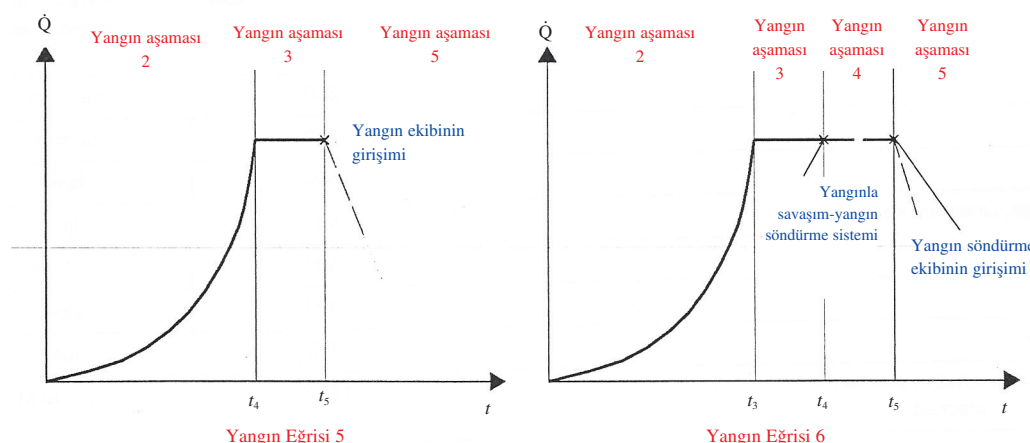
Düşük enerjili yanınlar, düşük ısı çıkışları ( $30 \text{ kW} \sim 300 \text{ kW}$ ) ve küçük bir yanım alanıyla nitelendirilebilir. Bu tür yanınlar, boyutlandırma amacıyla ve odadaki yanında belirli iklimsel koşulların etkisini değerlendirme olanağı elde etmek için ele alınır. Bu durumlarda, planlanan duman atma sistemleri ile alarm sistemlerinin verimi ya da etkinliği araştırılır.

Gelişimi ilk aşamayla (aşama 1) sınırlı olan düşük enerjili yanım, otomatik yanım sisteminin etkinleştirilmesiyle (duman detektörlerinin çalıştırıldığı bir sprey yanım sistemi, sprinkler değil) hafifletilir ve yanım ekibinin müdahaleyle söndürülebilir. Buna göre bu tür bir yanım için yapılan boyutlandırma Bölüm 3.4'deki Aşama 1,4 ve 5'in dikkate alınması gerekmektedir. Olası niteliksel yanım eğrileri Şekil 2'de gösterilmektedir.

### 3.2.3. Yüksek Enerjili Yanınlar İçin Yanım Eğrileri

Kural olarak, duman atma sistemlerinin maksimum gerekli performansı yüksek enerjili yanınlar temelinde belirlenir. Yüksek enerjili yanınların araştırılması genellikle yanımın gelişim aşamasıyla (Aşama 2) başlar. Söz konusu sınır koşullarına bağlı olarak, yanım söndürme ekibi tarafından yanım savaşımı başlayana kadar olan ara aşamalar yanımın devamı (Aşama 3) ve kontrol altına alınması (Aşama 4) aşamaları olabilir. Buna göre, boyutlandırma işlemleri Bölüm 3.4'deki 2 ve 5 arasındaki aşamaları dikkate almmalıdır. Olası eğrilerin nitelikleri Şekil 3'de gösterilmiştir.





**Şekil 3.** Yüksek enerjili yangnlarda farklı yanım eğrileri ve yanım aşamalarının gösterimi.

### 3.3. Açığa Çıkan Isının ve Yangın Alanının Hesaplanması

Değerlendirilen yanım riskine bağlı olarak, zamana göre açığa çıkan ısı miktarı ve yanım alanı her olası yanım aşaması için, tablo değerleri kullanılarak belirlenebilir. Tekil yanım aşamalarının değiştirilmesi, daha sonraki boyutlandırma aşamalarında araştırılması gereken temel değerlere bağlı olarak farklı kısmi yanım eğrilerini belirlemeye olanlığı verir.

Yanım gelişim miktarı	Yanım şiddeti katsayıısı kW/s <sup>2</sup>
Yavaş	0,0029
Orta hızlı	0,012
Hızlı	0,047
Çok hızlı	0,188

**Tablo 1.** Yanım şiddeti katsayıısı VdS 2827'ye göre, ± parametresi

Bürolar	300*)	Orta*)
Otel odaları	250*)	Orta*)
Satış alanları	500*)	Hızlı*)
Sergiler, tiyatrolar, sinemalar, sahneler	500	Hızlı
Konutlar	500*)	Orta*)
Müze	300	Orta*)
Yarı-treyler yanımı	400**) Yavaş	
Ahşap paletler (1,2x1,2x0,14); Nemlilik: 6~12%, istifli blok depolama, yükseklik 0,5 m	1250*)	Orta'dan hızlıya kadar
Posta çantaları, depolama		
Yüksekliği 1,5 m	400*)	Hızlı

**Tablo 2.** Birim alan başına açığa çıkan ısı ve yanımın gelişim miktarı örnekleri.

\*) Kaynak: VdS 2827

\*\*) Kaynak: VdS 2827'den türetilmiştir.

Aşağıdaki yanım parametreleri boyutlandırmayı etkiler:

- Birim alan başına maksimum ısı çıkışısı  $q_r$  (kW/s<sup>2</sup>),
- Ortalama yatay ilerleme hızı (m/s),
- Yanım şiddet katsayıısı ± (kW/s<sup>2</sup>),

### 3.4. Yangın Aşamaları

Bu rehber kitabına göre, farklı yanım aşamalarını ifade etmek için sonraki bölümlerde listelenen parametreler kullanılır.

#### 3.4.1. İlk Aşama (Aşama 1)

Doğal ve güç kullanan duman kontrol sistemlerinde ilk 300 s'de linear olarak artan ısı çıkışının sabit ve 100 kW olduğu kabul edilir. Bölüm 5'e göre bu aşama, t4'de Bölüm 3.4.5'e göre t5'de sona erer. Yanım alanı başlama sırasında  $A=0,40 \text{ m}^2$  dir. Basitleştirme amacıyla, bunun ilk aşamada sabit olduğu varsayılr.

#### 3.4.2. Yanımın Gelişimi (Aşama 2)

Yanımın gelişimi ısı çıkışıyla ve zamanın karesiyle artan yanım alanı ile nitelendirilir. Aşağıdaki gibi hesaplanır.

$$\dot{Q}(\tau_2) = \dot{q}_f \cdot A(\tau_2) \quad (1)$$

$$A(\tau_2) = (v \cdot \tau_2)^2 \quad (2)$$

$$v = \sqrt{\frac{A}{\dot{q}_f}} \quad (3)$$

Burada;

$Q$  = Toplam ısı çıkışısı, kW

$q_f$  = Birim alan başına maksimum ısı çıkışısı, kW/m<sup>2</sup>

$A$  = Yanım alanı, m<sup>2</sup>

$v$  = Yanımın ortalama ilerleme hızı, m/s (yatayda)

$\alpha$  = Yanım şiddeti katsayıısı, kW/s<sup>2</sup>

$\tau_2$  = Saniye olarak Aşama 2'deki zamansal değişme,

$i=3,4,5$  ve  $t$ 'nin global zaman değişkeni olduğu yerde  $\tau_2=t$  ve  $0 \leq t_i$  dir.

Tekil yanım teknik parametreleri Tablo 1 ve Tablo 2'den alınabilir; bu değerler yeterli hava beslemesinin bulunması halinde yanım yükü ile kontrol edilen yanmaya uygulanır. Diğer, objeye özgü değerler bulunduğuanda, seçime bağlı olarak bunlar kullanılır.

#### 3.4.3. Süreğen Yanım Aşaması (Aşama 3)

Yerel olarak kapatılmış tüm alan yanında ele alındığı sürece yan kenarları diğer yanın yüklerinden yeterli uzaklıktaki yan-



nında olduğu gibi) sürekli yanım aşaması (Aşama 3) başlar. Isı çıktı miktarı ve yanım alanı için önceki aşama (Aşama 2) sona erdiğinde sahip olduğu değerler korunarak sabit kalır.

$$\dot{Q}(\tau_3) = \dot{Q}(t_3) = \text{sabit} \quad (4)$$

$$A(\tau_3) = A(t_3) = \text{sabit} \quad (5)$$

Burada;

$\tau_3$  Aşama 3'ün başlamasından önceki süre, saniye

$\tau_3$  Aşama 3'deki zamansal değişken, saniye

$i=4,5$  ve  $t$ 'nin global zaman değişkeni olması durumunda  $\tau_3=t-t_3$  ve  $t_3 < \tau_3 \leq t_i$  dir.

#### 3.4.4. Kontrol Altındaki Yanım Aşaması (Aşama 4)

Bir otomatik yanım söndürme su sistemi devreye girdiğinde bunun yanım söndürme etkisi daha sonraki ısı çıktı miktarı gelişimini etkileyebilir. Sprinkler sistemin yanım söndürmesini engelleyen örtü olmaması durumunda, ısı çıktı miktarının sprinkler sistemin etkinleşmesiyle birlikte azalacağı varsayılmıştır. Su sprey sistemi ya da su miktarı bilinmeyen diğer otomatik yanım söndürme sistemleri hakkında kapsamlı araştırmaların bulunmadığı yerlerde, ısı çıktı miktarı ve yanım alanının etkinleşmenin başlamasından itibaren sabit kaldığı varsayılmıştır. Isı çıktı miktarı ve yanım alanı aşağıdaki gibi hesaplanır:

$$\dot{Q}(\tau_4) = \dot{Q}(t_4) \cdot e^{-0.0023\tau_4} \quad (6)$$

$$A(\tau_4) = A(t_4) = \text{sabit} \quad (7)$$

Diğer yanım söndürme sistemi

$$\dot{Q}(\tau_4) = \dot{Q}(t_4) = \text{sabit} \quad (8)$$

$$A(\tau_4) = A(t_4) = \text{sabit} \quad (9)$$

Burada,

$t_4$ =Aşama 4'ün başlamasından önceki süre, saniye

$\tau_4$ =Aşama 4'deki zaman değişkeni, saniye

$t$ 'nin global zaman değişkeni olması durumunda,  $\tau_4=t-t_4$  ve  $t_4 < \tau_4 \leq t_5$  dir. Boyutlandırmada dikkate alınan otomatik yanım söndürme su sisteminin geçerli kurallara göre dizayn edilmesi ve buna göre işletilmesi gereklidir.

#### 3.4.5. Yanım Söndürme Ekibinin Yanımla Savaşım Aşaması (Aşama 5)

Elle yanım savaşımının başlamasına kadar olan süre yanımın başlamasıyla yanım alarmı ve yanım ekibinin savaşma başlaması arasındaki süreyi kapsar. Tablo 3 ve Tablo 4'den aşağıdaki boyutlandırma miktarları kullanılabilir:

Elle yanım savaşımı başlayana kadar geçen süre;

$$t_5 = t_a + t_b \quad (10)$$

#### 3.5. Otomatik Yanım Söndürme Su Sistemlerinin Etkinleşme Süresinin Belirlenmesi

Yanımın gelişme aşamasında sprinkler sistemlerin etkinleştirme süreleri, Tablo 5~Tablo 8 arasındaki tablolar kullanılarak belirlenebilir. Bunlarda verilen sayısal değerler daha sonraki hesaplamlara  $t_4$  olarak girer.

	Yanım alarmı	Zaman
a1	DIN VDE 0833'a göre otomatik duman dedektörleri tarafından etkinleştirilen, yanım dedektörü ve alarm sistemi otomatik yanım alarmı	$t_{a1}=120$ s
a2	Sprinkler sisteminin çalıştığı yanım alarmı	$t_{a2}=t_4$ Bölüm 3.5.1'e göre
a3	Yanım alarmını doğrudan yanım ekibine göndermeyen, sprinkler sisteminin çalıştığı yanım alarmı	$t_{a3}=t_{a2}+300$ s
a4	DIN VDE 0833'a göre otomatik maksimum sıcaklık dedektörleri tarafından etkinleştirilen, yanım dedektörü ve alarm sistemi otomatik yanım alarmı	$t_{a4}$ Bölüm 3.5.2'ye göre
a5	Diğer yanım alarmları (telefon çağrı gibi)	$t_{a5}=600$ s

Tablo 3. Yanım alarmına kadar olan süreler,  $t_a$ .

	Yanım alarmı	Zaman
b1	İstenen koşullar (bir fabrika yanım ekibinin varlığı)	$t_{b1}=480$ s
b2	Normal koşullar (profesyonel yanım ekibinin varlığı/yanım zeminin kolay denetimi gibi)	$t_{b2}=780$ s
b3	Olumsuz koşullar (yardımcı bir yanım ekibinin varlığı/yanım zeminin kolay denetlenmesi yada profesyonel yanım ekibi/yanım zemininin zor denetlenmesi gibi)	$t_{b3}=1080$ s
b4	Özel olumsuz koşullar (yardımcı bir yanım ekibinin varlığı/yanım zemininin zor denetlenmesi gibi)	$t_{b4}=1380$ s

Tablo 4. Yanım ekibinin yanına girişim süresi  $t_b$ .

NOTLAR: Tablo 4'deki değerler yanım ekibinin yanın mahalline intikalinden sonraki hazırlıklar için 180 s'lik bir süreyi de içermektedir. Mahalle kuruluşundan duruma göre daha uzun hazırlık sürelerinin kabul edilmesi gerekebilir. Bu değerler, mühendislik yöntemlerinin kullanılması ile duman ve ısı kontrol sistemlerinin boyutlandırmasında yaklaşık değerlerdir. Korunma amaçlarının tamumuna göre (AGBF Bund), bir konuttaki yanından insanların kurtarma işleri için gerekli müddahale sürelerinden farklıdır.

Tablo değerleri uygulanırken, aşağıdaki sınır koşulları ve sprinkler nitelikleri dikkate alınmalıdır;

- Sprinkler kafaları tavana yakın olmalıdır (maksimum uzaklık 10 cm),
- Yanım alanı ile tavan arasındaki maksimum yükseklik ( $h_{max}$ = Şekil 4'e bakınız),
- Nominal etkinleşme (devreye girme) sıcaklığı ( $\theta_e$ ),
- EN 12259-1'e göre tepki süresi endeksi (RTI ) veya tepki sınıfı.

Basitleştirme amacıyla, duman hüzmesinin tavana vurma noktasından radyal olarak uzaklaşacağı ve komşu bina elemanlarının bu işleme etki yapacağı varsayılmaktadır. Tablodaki etkinleştirme değerleri sadece düzlem tavanlara uygulanabilir.



Tepki sınıfı		Hızlı	Özel		Standart A	
Tepki süresi endeksi (s.m) <sup>1/2</sup>		RTI=27	RTI=50	RTI=80	RTI=120	RTI=160
Nominal etkinleşme sıcaklığı, °C	57	505	520	535	555	570
	68	590	605	615	635	655
	79	670	680	695	715	730
	93	770	780	790	810	825
	141	-	-	-	-	-
	182	-	-	-	-	-
	57	570	580	600	615	630
	68	675	685	700	715	735
	79	775	785	795	815	830
	93	895	905	915	930	950
	141	-	-	-	-	-
	182	-	-	-	-	-
	57	650	660	670	690	705
	68	775	785	800	815	830
	79	905	915	925	940	955
	93	1080	1090	1100	1115	1130
	141	-	-	-	-	-
	182	-	-	-	-	-
Yükseklik 10.0 m	57	755	760	775	790	800
	68	895	900	910	925	940
	79	1025	1030	1045	1055	1070
	93	1180	1190	1200	1210	1225
	141	-	-	-	-	-
	182	-	-	-	-	-
	57	890	895	905	920	935
	68	1055	1065	1075	1085	1100
	79	1215	1220	1230	1245	1255
	93	1400	1410	1420	1430	1440
	141	-	-	-	-	-
	182	-	-	-	-	-

Tablo 5.  $\alpha=0.0029 \text{ kW/s}^2$  için sprinkler etkinleştirme süreleri  $t_4$  (saniye).

Ara değerler için interpolasyon yapılabilir.

Duman hüzmesinin ekseni ile sprinkler kafası arasındaki belirlenmiş uzaklık olarak  $r_{\max} = 3,25 \text{ m}$  (bakınız şekil 4) boyutlandırma amaçlarıyla olağan bir yaklaşımdır. Bu uzaklık konusundaki varsayımdır, VdS CEA 4001De belirtilen sprinkler arasındaki 4,60 m'lik kafes (grid) uzaklığının sonucu olan en uygunuz değerini hesaba katmaktadır.

Yangın eğrileri belirlenirken, teorik en erken zaman olarak 120 saniyelik bir süre hesaba katılır. Pratikte, yangının gelişimine bağlı olarak daha erken etkinleşme sürelerine (yangın söndürme tesisatının) ulaşılabilir. Tablo 5 ve Tablo 8 arasındaki tablolar, tavanla sprinkler kafası arasındaki uzaklığın maksimum 10 cm olması durumunda geçerlidir.

**Not 1:** Olanaklıysa, sprinkler nitelikleri en az 900 s sonra etkinleşme sağlanması temelinde seçilmelidir. Tablodaki 900 s'lik etkinleşme süresini aşan koyu renkle işaret edilmiş değerler sadece özel durumlarda kullanılabilir. Bu rehber kitapta belirtilen eğrilerin belirlenmesinde, etkinleşme süresi 900 s'den fazla olduğunda teorik olarak sprinklerin hiç etkinleşmediği ve duman gazi kütlesinin bir engelleme olmaksızın çıktıığı varsayıımı yapılmaktadır.

**Not 2:** Tablo 5 ve 8 arasındaki tablolarda verilen etkinleşme (activation) süreleri, FDS [2] yangın simülasyon modeli kullanılarak, ve [4] ve [5] de verilen empirik eşitliklere  $C=0,7 (\sqrt{\text{m/s}})$  gibi bir ıslı iletim (conductivity) kabul edilerek hesaplanmıştır.

[4] ve [5] den alınan dönüştürme eşitlikleri EK'de (Eşitlik A1) ve Eşitlik (A8) arasında verilmektedir.

Tepki sınıfı		Hızlı	Özel		Standart A	
Tepki süresi eneksi (s.m) <sup>1/2</sup>	RTI=27	RTI=50	RTI=80	RTI=120	RTI=160	
Nominal etkinleşme sıcaklığı, °C	57	225	240	255	270	285
	68	265	275	290	310	325
	79	300	310	325	340	360
	93	340	350	365	380	400
	141	465	475	490	505	525
	182	565	570	585	300	620
	57	275	285	300	315	330
	68	330	340	350	390	385
	79	380	385	400	415	430
	93	440	445	460	475	490
	141	640	645	655	670	685
	182	780	785	790	800	815
	57	320	330	345	360	375
	68	390	400	410	425	440
	79	450	460	470	485	500
	93	530	540	550	560	575
	141	820	830	850	865	885
	182	995	1010	1030	1040	1060
	57	385	395	405	420	435
	68	455	465	475	490	500
	79	520	530	540	550	565
	93	595	605	615	630	640
	141	835	845	850	865	875
	182	1020	1025	1035	1045	1055
	57	455	465	475	485	500
	68	535	545	555	565	580
	79	615	620	630	645	655
	93	705	715	725	735	745
	141	990	1000	1005	1020	1030
	182	1210	1220	1225	1235	1245

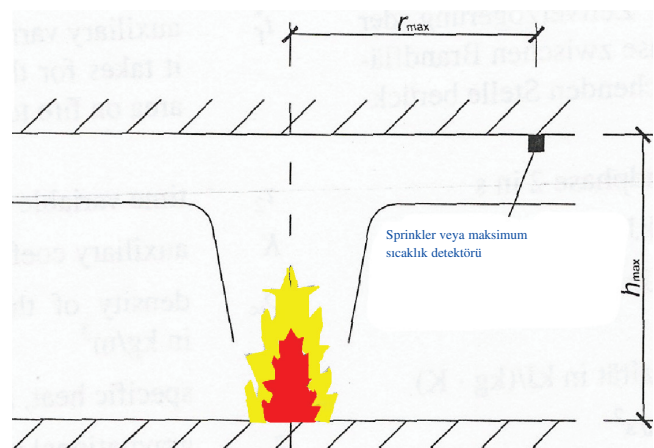
Tablo 6.  $\alpha=0.012 \text{ kW/s}^2$  için sprinkler etkinleştirme süreleri  $t_4$  (saniye).

Ara değerler için interpolasyon yapılabilir.

### 3.5.2. Maksimum Yangın Sıcaklığı Detektörleri Kullanarak Yangın Söndürme Sistemlerinde Etkinleşme (Activation) Sürelerinin Hesaplanması

Maksimum yanım sıcaklığı dedektörleri ile etkinleştirilen otomatik yanım söndürme sistemlerinde dedektörlerin geçici tepki verme süresi Eşitlik (11) ve Eşitlik (16) arasındaki eşitlikler kullanılarak hesaplanabilir.

Bu, duman gazının zaman içerisinde dedektördeki sıcaklık gelişimini belirleyerek ve bu değeri, EN 54-7'de belirtildiği gibi (bakınız eşitlik [11]), seçilen dedektör tipinin maksimum statik tepki süresi ile karşılaştırarak yapılabilir. İlkesel olarak dedektörlerin tavan yakını yerleştirildikleri gözlemlenmelidir.



Sekil 4.  $r_{\max}$  ve  $h_{\max}$  büyüklüklerinin gösterimi.



Tepki sınıfı		Hızlı	Özel		Standart A	
Tepki süresi endeksi (s.m)1/2		RTI=27	RTI=50	RTI=80	RTI=120	RTI=160
Yükseklik 10.0 m	Yükseklik 8.0 m	Yükseklik 6.0 m	Yükseklik 4.0 m	Yükseklik 3.0 m	Nominal etkinleşme sıcaklığı, °C	
57	125	140	150	165	175	
68	145	155	170	185	195	
79	165	175	185	200	215	
93	185	195	205	220	235	
141	245	255	270	285	300	
182	295	305	315	335	350	
57	145	155	165	180	190	
68	165	175	185	200	215	
79	185	195	205	220	235	
93	210	220	230	245	360	
141	285	290	305	320	330	
182	340	350	360	375	390	
57	175	185	195	300	220	
68	205	210	225	235	250	
79	230	240	250	265	275	
93	260	270	280	295	305	
141	355	365	375	390	400	
182	430	440	450	460	475	
57	210	220	230	240	255	
68	245	250	260	275	285	
79	275	285	295	305	320	
93	315	320	330	345	255	
141	435	440	450	450	475	
1820	525	535	540	555	565	
57	245	250	260	275	285	
68	285	295	300	315	325	
79	325	330	340	355	365	
93	370	380	385	400	410	
141	515	520	530	540	550	
182	625	630	640	650	660	

Tablo 7.  $\alpha=0,047 \text{ kW/s}^2$  için Sprinkler etkinleştirme süreleri  $t_4$  (saniye).

Ara değerler için interpolasyon yapılabilir.

Yangının gelişme aşaması için (Aşama 2) Eşitlik (11)in doğrulanması, Eşitlik (12)-(16) [4] arasındaki eşitlikler kullanılarak yapılacaktır. İlkesel olarak doğrulama yinelemeli (iterative) nitelikte olmak zorundadır. Doğrulama (ya da kanıtlama):

$$\vartheta_{\text{Rauch}} \geq \vartheta_{\text{WM}} \quad (11)$$

$$\vartheta_{\text{Rauch}} = \Delta T_2^* [K^{0.6}(T_\infty/g)\alpha^{0.6}h_{\max}^{-0.6}] + T_\infty - 273 \quad (12)$$

Burada:

$$\Delta T_2^* = \begin{cases} 0 & t_2^* \leq t_f^* \\ \left( \frac{t_2^* - t_f^*}{0,188 + 0,313r_{\max}/h_{\max}} \right)^{1,333} & t_2^* \geq t_f^* \end{cases} \quad (13)$$

$$t_2^* = \tau_2 / K^{-0.2}\alpha^{-0.2}h_{\max}^{-0.8} \quad (14)$$

$$t_f^* = 0,954(1+r_{\max}/h_{\max}) \quad (15)$$

$$K = g/(c_p T_\infty \rho_\infty) \quad (16)$$

Burada;

$\vartheta_{\text{WM}}$  = Maksimum sıcaklık dedektörünün maksimum statik tepki sıcaklığı, °C

$\vartheta_{\text{Rauch}}$  = Dedektördeki duman gazlarının sıcaklığı, °C

$T_\infty$  = Çevresel sıcaklık, K

$\Delta T_2^*$  = Boyutsuz duman gazı sıcaklığı (yardımcı değişken),

$t_2^*$  = Boyutsuz zaman,

$t_f^*$  = Duman gazlarının yanın alanından araştırma altındaki noktaya kadar yükselmesini dikkate alan yardımcı değişken,

$\tau_2$  = Aşama 2'deki zaman değişkeni, s

K = Yardımcı katsayı,  $\text{m}^4(\text{kJ.s}^2)$

$\rho_\infty$  = Çevre sıcaklığındaki havanın yoğunluğu,  $\text{kg/m}^3$

$c_p$  = Özgül ısısı,  $\text{kJ}/(\text{kg.K})$

g = Yer çekimi ivmesi,  $\text{m/s}^2$

$\alpha$  = Yangın şiddeti katsayısı,  $\text{kW/s}^2$

$h_{\max}$  = Yangın alanı ile tavan arasındaki maksimum düşey uzaklık, m

$r_{\max}$  = Duman hüzmesinin ekseni ile maksimum sıcaklık detektörü arasındaki yatay uzaklık, m.



Tepki sınıfı		Hızlı	Özel		Standart A	
Tepki süresi endeksi (s.m)1/2	RTI=27	RTI=50	RTI=80	RTI=120	RTI=160	
Yükseklik 3.0 m	57	120	120	120	120	120
Yükseklik 4.0 m	68	120	120	120	120	120
Yükseklik 5.0 m	79	120	120	120	120	130
Yükseklik 6.0 m	93	120	120	120	135	145
Yükseklik 7.0 m	141	135	145	155	165	180
Yükseklik 8.0 m	182	155	165	180	190	205
Yükseklik 9.0 m	57	120	120	120	120	120
Yükseklik 10.0 m	68	120	120	120	120	130
Yükseklik 11.0 m	79	120	120	120	135	145
Yükseklik 12.0 m	93	120	125	135	145	155
Yükseklik 13.0 m	141	150	160	170	185	195
Yükseklik 14.0 m	182	180	190	200	210	225
Yükseklik 15.0 m	57	120	120	120	125	135
Yükseklik 16.0 m	68	120	120	130	140	150
Yükseklik 17.0 m	79	125	135	145	155	165
Yükseklik 18.0 m	93	140	150	160	170	180
Yükseklik 19.0 m	141	190	195	205	220	230
Yükseklik 20.0 m	182	225	235	240	255	265
Yükseklik 21.0 m	57	120	125	135	145	155
Yükseklik 22.0 m	68	135	140	150	160	170
Yükseklik 23.0 m	79	150	155	165	175	185
Yükseklik 24.0 m	93	170	175	185	195	205
Yükseklik 25.0 m	141	230	235	245	255	265
Yükseklik 26.0 m	182	275	280	290	300	310
Yükseklik 27.0 m	57	135	140	150	160	170
Yükseklik 28.0 m	68	155	160	170	180	190
Yükseklik 29.0 m	79	175	180	190	200	210
Yükseklik 30.0 m	93	195	205	210	225	235
Yükseklik 31.0 m	141	270	275	285	295	305
Yükseklik 32.0 m	182	325	330	335	345	355

Tablo 8.  $\alpha=0.188 \text{ kW/s}^2$  için Sprinkler etkinleştirme süreleri  $t_4$  (saniye).

### 3.5.3. Diğer Otomatik Yangın Söndürme Sistemlerinin Etkinleştirme Süreleri

Duman gazı dedektörleri, sıcaklık artışı dedektörleri ya da alev dedektörleri ile etkinleştirilen yangın söndürme sistemlerinin etkinleştirme süreleri, bu dedektörlerin tepki sürelerine ve zaman içerisinde dumanın dağılmasına bağlıdır. Tepki süreleri uygun mühendislik yöntemleri kullanılarak belirlenecek veya tahmin edilecektir. Düşük enerjili yangın senaryosuna göre, kurulu hiç bir sprinkler sisteminin etkinleştirilmemiş varsayımları yapılmalıdır. Sonuç olarak bu senaryonun otomatik yangın belirleme ve duman alarm sistemleri de dahil olmak üzere duman çekme sistemlerinin etkinliğini belirlemeye kullanıldığına dikkat edilmelidir.

### 3.6. Tekil Yangın Aşamalarının Nitelendirilmesi

Tablo 9, bu rehber kitapta, tanımlanan bütün yangın aşamalarını açığa çıkan ısı ve yangın alanı için sürekli temelde olan da dahil olmak üzere özetlemektedir.

### 3.7. Konvektif Yoldan Açığa Çıkan Isı Miktarının Hesaplanması

Açığa çıkan ısı miktarının hesaplanmasında, bu isının % 30 oranında radyasyonla ve % 70 oranında konveksiyonla sıcak gazlara aktarıldığı varsayıımı yapılır. Buna göre konvektif ısı miktarı;

$$\dot{Q}_{\text{konv}}(t) = Q(t) \cdot 0,7 \quad (17)$$

Burada,

$\dot{Q}_{\text{konv}}$  = Konvektif biçimde açığa çıkan ısı miktarı, kW

$Q$  = Toplam açığa çıkan ısı miktarı, kW

### 3.8. Yangın Testlerinden ve Yangın Simülasyon Hesaplarından Elde Edilen Yangın Eğrileri

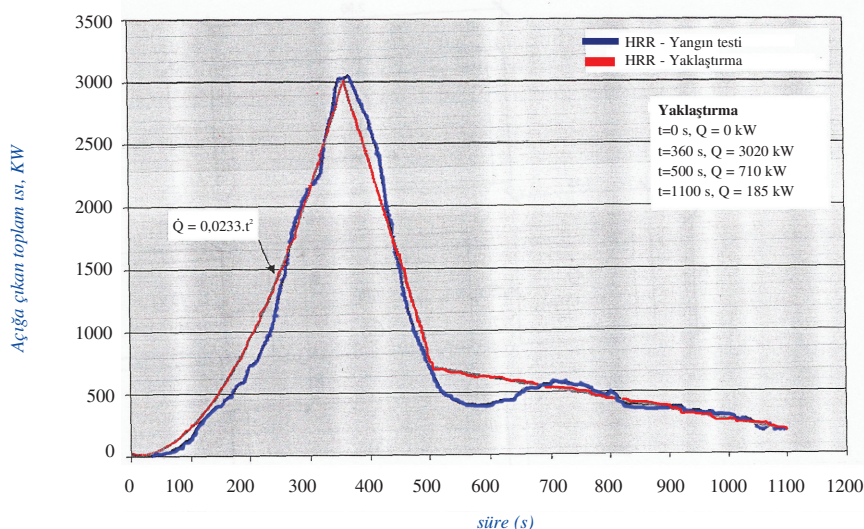
İllerdeki bölgelerde gösterilen yangın eğrileri, yangın simülasyonları veya gerçek ölçekteki testlerden elde edilmiş objeye özgü değerlerdir. Tekil resimlerde gösterilen açığa çıkan isının yaklaşık değerleri, eldeki mevcut riskine uygun olmaları koşuluyla ısı ve duman kontrolünde boyutlandırma amacıyla kullanılabilir.

Yangın aşaması	İşı çıktı miktarı	Yangın alanı	Zaman aralığı
Aşama 1 Yangın başlangıcı	$\dot{Q}(\tau_1) = 0,333\tau_1$ $\dot{Q}(\tau_1) = 100 \text{ kW}$	$A(\tau_1) = 0,40 \text{ m}^2$ $A(\tau_2) = 0,40 \text{ m}^2$	$0 \leq \tau_1 \leq 300 \text{ s}$ $300 \text{ s} < \tau_1 \leq \tau_i$ $i = 4, 5$ $\tau_1 = t$
Aşama 2 Yangının gelişmesi	$\dot{Q}(\tau_2) = q_r \cdot (A(\tau_2))$	$A(\tau_2) = (v \cdot \tau_2)^2$	$0 < \tau_2 \leq t_i$ $i = 3, 4, 5$ $\tau_2 = t$
Aşama 3 Yangının devamı	$\dot{Q}(\tau_3) = \dot{Q}(t_3) = \text{sabit}$	$A(\tau_3) = A(t_3) = \text{sabit}$	$t_3 < \tau_3 \leq t_i$ $i = 4, 5$ $\tau_3 = t - t_3$
Aşama 4a Sprinkler etkinleşmesiyle yangının kontrol altına alınması	$\dot{Q}(\tau_4) = \dot{Q}(t_4) \cdot e^{-0,0023 \cdot (\tau_4)}$	$A(\tau_4) = A(t_4) = \text{sabit}$	$t_4 < \tau_4 \leq t_5$ $\tau_4 = t - t_4$
Aşama 4b Farklı bir otomatik yanın söndürme sisteminin çalışmasıyla yangının kontrol altına alınması	$\dot{Q}(\tau_3) = \dot{Q}(t_3) = \text{sabit}$	$A(\tau_4) = A(t_4) = \text{sabit}$	$t_4 < \tau_4 \leq t_5$ $\tau_4 = t - t_4$
Elle yanın söndürme girişimleri ile yanının söndürülmesi	-	-	$t_5$

Tablo 9. Tekil yanın aşamalarının nitelendirilmesi.

### 3.8.1. Yangın Testinden İşi Çıktısı (Çekyat Koltuk)

Şekil 5'de çizilen yanın eğrisi bir çekyat koltukta gerçekleştirilen yanın testinden belirlenmiştir. Açıga çıkan toplam ısı miktarı yaklaşık 3 MW ve yanının maksimum alanı  $2 \text{ m}^2$  dir. Sonuç olarak, birim alan başına açıga çıkan ısı  $2$  yaklaşıklık olarak  $q_r = 1500 \text{ kW/m}^2$  dir ve yanın ilerleme hızı  $t=360 \text{ s}$  ye kadar  $v=3,9 \text{ mm/s}$  olmuştur.



Şekil 5. Açıga çıkan toplam ısı (HRR)- Alevlenme geciktiren kimyasal içermeyen PU köpüğünden koltuk.

### 3.8.2. Yangın Simülasyonunun CFD Hesaplarından Elde Edilen Yangın Eğrileri

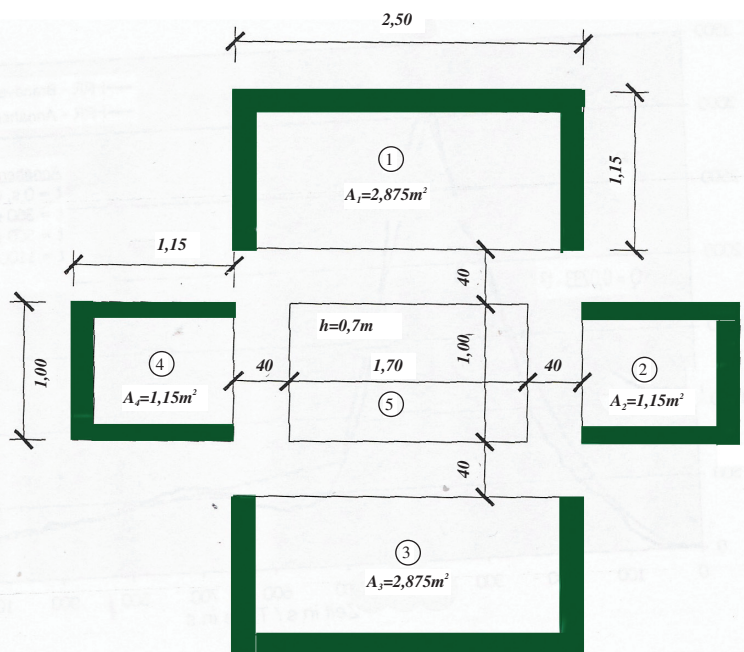
CFD temelli bir yanım simülasyon modeli uygulayarak Şekil 6'da gösterilen oturma odası koltuk takımıındaki ısı çıkışları hesaplanmıştır. Maksimum toplam ısı çıkışısı yaklaşık 11,4 MW'a ulaşmış olup, maksimum yanım alanı  $8,1 \text{ m}^2$  olmuştur.

### 3.8.3. Yangın Testinden Elde Edilen Isı Çıktısı (Printer)

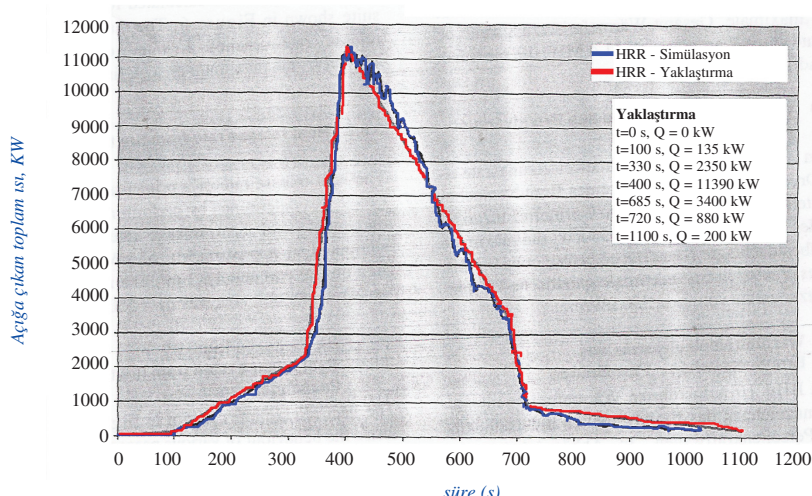
Şekil 9'da gösterilen printerin ısı çıkışısı bir yanım testi gerçekleştirilerek saptanmıştır. Printerin maksimum ısı çıkışısı 55 kW olarak hesaplanmıştır. Maksimum yanım alanı  $0,1 \text{ m}^2$  dir. Birim alan başına ısı çıkışısı bu durumda,  $q_f=550 \text{ W/m}^2$  olmaktadır.

### 3.8.4. Yangın Testinden Elde Edilen Isı Çıktısı - Yolcu Arabaları

Şekil 10'da gösterilen ısı çıkış miktarları değişik yolcu arabalarının yanım karşısındaki davranışını nitelendirmektedir. Aracın türüne bağlı olarak değişik yanım eğrileri elde edilmiştir.



Şekil 6. Sonsuz bir odada oturma odası takımı (örneğin geniş bir atriyumda).



Şekil 7. Oturma odası koltuk takımında açığa çıkan toplam ısı miktarı-HRR.

Hesaplama aşağıdaki malzeme niteliklerine dayandırılmıştır:  
Çekyat: Koltukta, yanım nedeniye ısı çıkışısı ( $Q_{\max}=3,4 \text{ MW}; t=390 \text{ s}$  sonra)

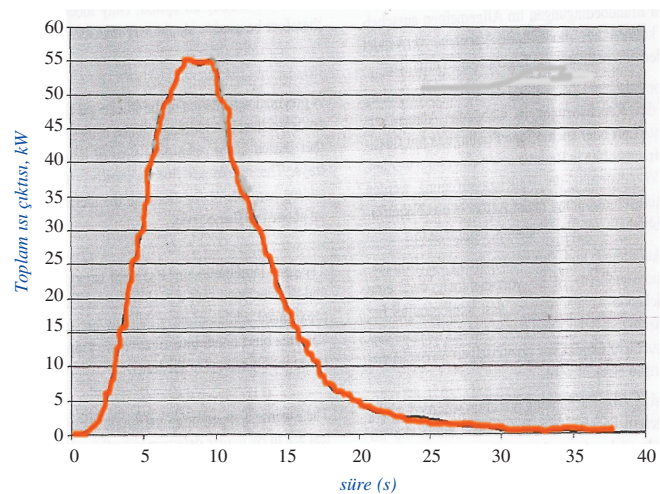
Koltuklar: Poliüretan/koltuk döşemesi,  
Tutuşma sıcaklığı= $280^\circ\text{C}$ ,  
Buharlaşma ısısı  $1,8 \text{ kJ/g}$ ,  
Teorik ısıl değer= $30 \text{ kJ/g}$ ,

Masa: Ahşap, tutuşma yok.

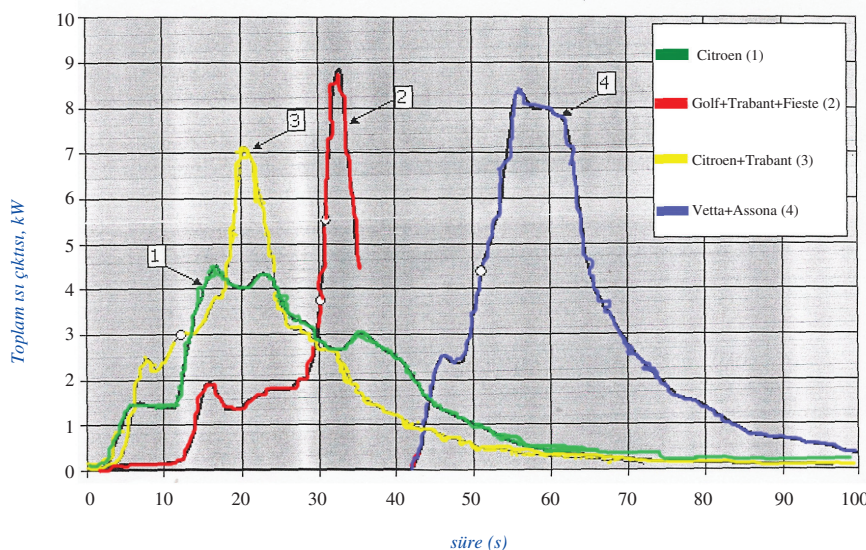
Kullanılan yazılım: FDS (Fire dynamic simulator) version 3.1, SSMokeyview (görselleştirme yazılımı), National Institute of Standards and Technology, Gaithersburg, USA



Şekil 8. Sonsuz bir odada oturma odası koltuk takımında -  $t=415$  saniyede tam gelişmiş haldeki yanım için bilgisayar görselleştirmesi [8].



Şekil 9. Toplam ısı çıkışısı (HRR) - Printer [8].



**Sekil 10.** Değişik araba yangınlarında toplam ısı çıkışısı (HRR) [9].

#### 4.Tüm Duman Kontrol Sisteminin Etkinliğinin Doğrulanması

##### 4.1. Genel

Tüm duman kontrol sistemi, tamamlandıktan sonra bir işlevsel etkinlik testine alınabilir. Pratik gerçek ölçekli bir etkinlik testi, genellikle tek seçenek değildir. Bu nedenle, gerçeğe yakını sonuçlar veren model testleri kullanılabilecektir.

Duman gazı akışının pratik biçimde doğrulanması için tavalar içerisinde sıvı yakıtın yandığı sıcak hava veya açık havuz yangınları kullanılarak yapılabilir. Alev bölgesinin üzerinde duman gazı çıkışını görselleştirmek için genellikle bu işi kolaylaştırıcı aerosoller eklenir. Test sırasında içinde bulunan personelin istemeyen etkilere maruz kalmasını önleyici önlemler alındıktan sonra, yangın simülasyonu gerçeğe yeteri kadar yakın olmak üzere boyutlandırılır ve konumlanır.

Test yüzeyinde izin verilebilir sıcaklıklar özellikle binada bulunan malzemeler ve ekipman (örneğin sprinkler) tarafından belirlenir. Dolayısı ile ısı çıkışısı da sınırlanmalıdır.

##### Gözetilecek Sınır Koşulları

Bu simülasyon testlerinin yapıldığı yerlerde aşağıdaki sınır koşulları gözlemlenecektir:

- Aerosol sisinin bozulmaması için bu sis, ısı kaynağından ya da yanmakta olan tavanın itibaren çok kısa bir uzaklıktaki eklenmemelidir. Bu aerosol akışkanları (görselleştirmek için) sadece olabildiğince uzun ömürlü olanlardan seçilecektir. Bozulan (decomposition) aerosol sisleri kolaylıkla yanlış sonuçlara götürürebilmektedir.
- Doğal veya güç kullanarak duman çekme sistemi, hava giriş açıklıkları, duman perdeleri, alarm sistemleri, acil durum güç kaynakları, yanğını erken belirleme sistemleri, kapı kontrolleri vb. gibi, duman kontrol sistemi için gerekli bütün ekipmanlar, son çalışma kontrolünde belirlendiği biçimde işlevsel olmalı ve bunlar da doğrulama testine dahil edilmelidir.
- Hava giriş açıklıkları belirlenen biçimde olmalı (konumlandırma, tekil ve toplam alan bakımından) ve duman kontrol sisteminin gerektirdiği biçimde çalışmalıdır.
- Odada duman akışını etkileyebilecek herhangi bir ayrıntı (aparatlar, fittingler, güneşlikler vb) ya mevcut halleriyle kalacak (gerçek test) ya da akışkanlar mekanığının benzerlik yasasına göre modellenecektir.

- Havalandırma ve iklimlendirme sistemleri duman kontrol sisteminin gereksindığı biçimde çalışır ve işlevsel halde bulunacaktır.
- Test sırasında oda sıcaklığı, odanın kullanım sırasındaki sıcaklığına eşit olacaktır.
- Bina gövdesi tam ve işlevsel olacaktır.
- Duman gazının dağılımı, duman hüzmesine takipçi-gaz (örneğin  $N_2O, SF_6$ ) karşıtlararak niceliksel (kantitatif) olarak araştırılacaktır. Takipçi-gazlar (iz bırakan gazlar) odadaki yerel konsantrasyonu belirlemeye yardım eder.

##### Belgelendirme Konusunda Karşılanacak Gereklilıklar

Aşağıdaki bilgileri içeren kapsamlı bir belgelendirme yapılacaktır:

- Yukarıda sıralanan izlenecek hususlara ilişkin ayrıntılı bilgiler,
- Kullanılan yangın kaynağının ve aerosol sisinin

açıklanması,

- Yangın yerlerinin konumları,
- Isı kaynağı ve test düzeneğinin gerçek konumları ve yangın senaryosunun benzerlik aralığının başlangıcında yükseklik bağlantısı,
- Dış iklimsel koşulların (dış mahal sıcaklığı/rüzgar koşulları) açıklanması,
- İşlevsel zincirin açıklanması,
- Duman-sınır tabakasının fotoğrafı veya videoyla görselleştirilmesi,
- Herhangi bir ölçme raporları/diyagramları,
- Diğer sınır koşullarının açıklaması,
- Test sonuçlarının değerlendirilmesi.

##### 4.2 Sicak Havanın Yangın Simülasyonu Olarak Kullanımı

Yangın simülasyon kaynağı olarak sıcak hava kullanıldığında, görselleştirme amacıyla hava akımına bir aerosol eklenir. Bu test duman gazının bina içindeki dağılımı gerçek duman gazı dağılımına benzerdir. Aerosol içeren gaz (duman gazı) ile çok az aerosol içeren (dumanlı tabaka) arasındaki sınır tabaka görsel olarak saptanır.

Bu yöntem hem düşük enerjili hem de yüksek enerjili yangınların simülasyonunda kullanılabilir. Yüksek enerjili yangınlar simüle edildiğinde akışkanlar mekanığı benzerlik yasasından transfer fonksiyonları kullanılır.

##### Aşağıdaki sınır koşulları izlenecektir:

- Yukarı doğru yükselen hava jetinin konveksiyon taripli hava jetine benzer olmalı, diğer bir deyişle türbülanslı olmalı ve ek bir akış momentumundan etkilenmemelidir. Ayrıca bu jetteki türbülansın da etkilenmemesine dikkat edilmelidir.
- İlk aşama sırasında, duman gazları tavana ulaşacak kadar güçlü (yeterli) bir kaldırma etkisine veya hiç bir yükselmeye sahip olmayabilir. Bu, mahallin üst kısmında bulunan hava tabakasının sıcaklığının ıslık jetin sıcaklığından yüksek olması halinde karşılaşılan durumdur.

İşlevsel test sırasında sıcaklık tabakaları bulunduğuanda (örneğin geniş bir aydınlatık alanına sahip atriumlar veya buz pateni salonlarında) duman gazı üst tabakalara ulaşamayabilir.

Yükseklik arttıkça hava sıcaklığı da arttığından havanın kaldırma et-



kısı azalır. Bu, kaldırma kuvvetinin tamamen dengelenmesine yol açabilir. Bu durumda ısl (termal) jet bozulur ve odada ağırlıklı olarak bulunan hava akımıyla harmanlanır.

Çevresel sıcaklıkla ısl jet arasındaki sıcaklık farkının nötr hale geldiği yükseklik koordinatı  $z$ ; denge yüksekliği olarak adlandırılır. Bu yükseklikle ilgili bir tahmin aşağıdaki Eşitlik (18) de bulunmaktadır. Eğer sıcaklık artışı, sıcaklıkla yaklaşık olarak doğrusal ise,  $Z_E$ , aşağıdaki eşitlikle belirlenebilir:

$$Z_E = 0,74 \cdot Q_{\text{conv}}^{0,25} \left( \frac{\Delta T}{\Delta z} \right)^{-0,375} \quad (18)$$

Burada;

$Z_E$  denge yüksekliği,

$Q_{\text{conv}}$  konvektif ısı çıktı miktarı kW,

$\Delta z$  yanın alanı ile tavan (tırmanma) arasındaki yükseklik farkı,

$\Delta T$  tavana yakın ve dösemeye yakın bölgeler arasındaki sıcaklık farkı K.

#### Yangın simülasyon düzeneği tarafından karşılanması gerekenler

- Hava akımı ayarlanabilir ve ölçülebilir olmalıdır,
- Brülör çıkıştı ayarlanabilir ve ölçülebilir olmalıdır,
- Görselleştirme amacıyla duman hüzmesine eklenen aerosol sisi 250 m<sup>3</sup>/h~350 m<sup>3</sup>/h arasında bulunmalıdır. Kural olarak bu, birkaç sis üretecisinin kullanımını gerektirecektir. Tekil akışlar (hava ve aerosol karışımı) her bir boruda ayrı olarak ölçülür,
- Jet çıkışındaki akış momentumu, uygun önlemlerle azaltılmalı ve yukarı doğru olanak oranında serbest bir jet çıkışı sağlanmalıdır,
- (Dumanın) gerçek çıkış yeri bilinmelidir.

#### 4.2.1. Özellikle İlk Aşamanın Simülasyonunda Test Performansı Parametrelerinin Seçimi İçin Öneriler

Değişik test serileri için aşağıdakilerden en az birisi seçilmelidir.

- Seri 1

Konvektif ısı çıkıştı	50 kW
Konvektif hava hacmi	0,5 m <sup>3</sup> /s
Test düzeneğinin çıkışında ortalama sıcaklık	83°C

- Seri 2

Konvektif ısı çıkıştı	100 kW
Konvektif hava hacmi	1 m <sup>3</sup> /s
Test düzeneğinin çıkışında ortalama sıcaklık	83°C

- Seri 3

Konvektif ısı çıkıştı	150 kW
Konvektif hava hacmi	1,5 m <sup>3</sup> /s
Test düzeneğinin çıkışında ortalama sıcaklık	83°C

Testin süresi, en azından yanın eğrilerinden elde edilen, yanın ekinin yanına girişimine kadar olan süreyi ( $t_s$ ) içermelidir. Bununla birlikte minimum süre 10 dakikadır.

#### Digerlerinin yanı sıra nicelik testlerinden aşağıdaki bilgiler de elde edilebilir.

- Binadaki duman gazı akışının niceliksel değerlendirilmesi (Kanıtlanmış işlevsel ilişkilerin bilinmesi, beklenen yanın gelişiminden sapmaları belirlemeyi sağlar),
- Binadaki duman dolu (duman tabakası) ve dumansız (dumansız tabaka) bölümlerin belirlenmesi,

- Duman kontrol sisteminin niceliksel değerlendirmesi,
- Duman kontrol sisteminin önceden belirlenen (hesaplanmış) niteliklerinin karşılaştırılması,
- Duman tabakası oluşum süresi içerisinde yanın gelişmesinin tahmin edilmesi.

#### Digerlerinin yanı sıra aşağıdakiler nicelik testleri ile belirlenemez:

- Odadaki sıcaklık dağılımı,
- Bina elemanlarının yüzey sıcaklıkları,
- Kirletici madde konsantrasyonları,
- Görüş kısıtlanmasının değerlendirilmesi,
- Otomatik yanın söndürme sistemlerinin etkinleşme (devreye girmeye) süreleri,
- Isı dedektörlerinin etkinleşme süreleri,
- Rüzgarın dışsal etkileri.

#### 4.2.2. Niceliksel (Kantitatif) Doğrulama

Bu testlerin duman kontrol sisteminin niceliksel değerlendirmesi için kullanıldığı yerlerde, örneğin tam gelişkin yanınların değerlendirilmesi, akışkanlar mekaniği benzerlik yasalarında uygun dönüşümler yapılmalıdır.

Benzerlik aralığının başlangıcında ısl jetteki duman gazı kütlesel akışı, yanın simülasyon düzeneğindeki hava akışı ile karşılaşır. Jet-biçimlendirme bölgesinin sonundaki hava akışı Thomas ve Hinkley eşitliği ile hesaplanır;

$$\dot{m}_{p_1}(z) = 0,19 \sqrt{4A\pi} \cdot z^{1,5} \quad (19)$$

$z=l_f$  olan yerde,

Jet-biçimlendirme bölgesinin yüksekliği

$$I_F = 2\sqrt{A} \quad (20)$$

$m_{p_1}(z)$  duman gazı kütlesi (hüzme), kg/s

A: yanın alanı m<sup>2</sup>

$l_f$ : jet-biçimlendirme bölgesinin uzunluğu, m

Dumanın eklendiği benzerlik aralığının başlangıcı ve  $z$  arasında farklılık olması durumunda ( $z \neq l_f$ ) dönüştürmeler Eşitlik (21) ve Eşitlik (22) uyarınca yapılacaktır:

$$\dot{m}_0(z) = \dot{m}_0(l_f) \cdot \left( \frac{l_f - z_{0,0}}{z - z_{0,0}} \right)^{-1,667} \quad (21)$$

$$z_{0,0} = -1,02 \cdot D + 0,083 \cdot Q_0^{0,4} \quad (22)$$

Burada;

$z_{0,0}$  gerçek orijin, m

$D$  yanın çapı, m,  $D = \sqrt{4A/\pi}$

$Q_0$  toplam ısl çıktı miktarı, kW

Model (M alt indisli) ve boyutlandırma için kullanılan yanın gelişimi (O alt indisli) için Arşimet (Ar) ve Euler (Eu) benzerlik büyülüklükleri birbirine eşitse, akış işlemlerinin benzerliği benzerlik mekanığına uyar. Açıklamalar VDI 6019-Kısım 2'de bulunmaktadır.

$$Ar = \frac{g I \Delta T}{T_\infty w^2} \quad (23)$$

$$Eu = \frac{\Delta p}{\rho \cdot w^2} \quad (24)$$

Burada;

$g$  yer çekimi ivmesi  $m/s^2$

$l$  karakteristik uzunluk, m

$T_\infty$  çevresel sıcaklık, K

$\Delta T$  sıcaklık farkı, K

$w$  akış hızı,  $m/s$

$\Delta p$  basınç farkı, Pa

$\rho$  gazın yoğunluğu,  $kg/m^3$

Benzerlik faktörleri ile ifade edilirse;

$$f_{\Delta T} = \frac{\Delta T_M}{\Delta T_0} \quad (25)$$

$$\frac{f_g \cdot f_l \cdot f_{\Delta \theta}}{f_{T_\infty} \cdot f_w^2} = 1 \quad (26)$$

$$\frac{f_{\Delta p}}{f_p \cdot f_w^2} = 1 \quad (27)$$

Test, orijinal odada gerçekleştirildiğinde  $f_i=1$  'dir.

$f_g=1$  ve  $f_{T_\infty}=1$  olması durumunda,

$$f_{\Delta \theta} = f_w^2 \quad (28)$$

Eğer  $f_i=1$  ve  $Eu=\text{Sabit}$  ise;  
 $f_v=f_w \cdot f_t$  eşitliğinden

$$f_v = f_w \quad (29)$$

bulunur.

İsi akışının fonksiyonel ilişkisinden;

$$f_Q = f_v \cdot f_p \cdot f_{\rho \theta} \quad (30)$$

Eşitlik(31) de  $i=j$  koyularak  $f_i$  elde edilir ve Eşitlik (31) den,

$$f_Q = f_w \cdot f_{\Delta \theta} \quad (31)$$

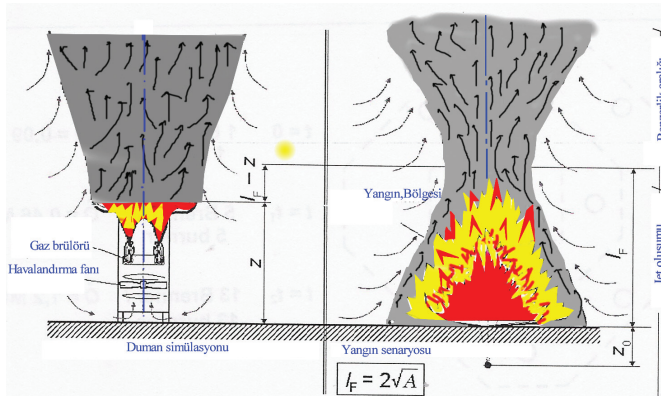
elde edilecektir. Daha önce hesaplanan isi çıktı miktarını dikkate alarak,  $f_w$  ve  $f_{\Delta \theta}$  için iki fonksiyonel ilişki olarak

$$f_Q = f_w \cdot f_{\rho v} \quad (32)$$

$$f_w^2 = f_{\Delta \theta} \quad (32)$$

elde edilir.

Bu dönüştürmeler, yanım simülasyon düzeneğinin çıkışında gerekli



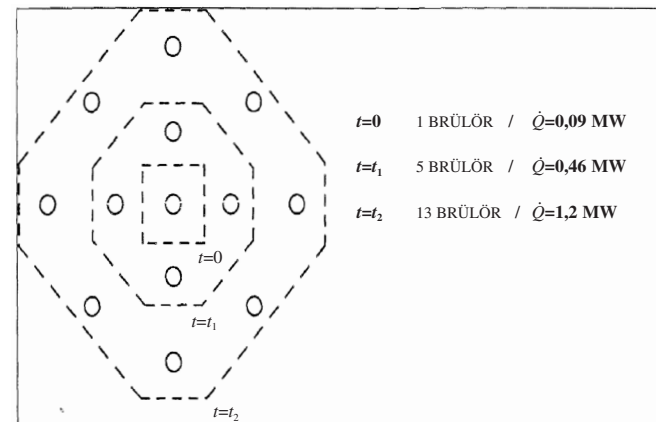
Şekil 12. Duman simülasyon/yanım senaryosu.

hacimsel akış ve sıcaklıklar ile birlikte, fanlı duman gazı çekme sistemlerinde hacimsel akış ve zamansal gelişimi belirlemeye olanak verir. Yukarıdaki niteliklerin kullanımı bu rehber kitabın EK'ler bölümünde verilen örneklerle açıklanmaktadır.

#### 4.2.2.1. Gerçek İsi Çıktı Miktarlarının Niceliksel Doğrulaması

Yanının ilk aşamasından yüksek isi çıktılarına kadar duman egzoz sistemlerinin etkinliğinin doğrulanması için gerçek yanım senaryolarının istediği durumlarda, Şekil 12'de gösterilenler gibi sistemler kullanılabilir.

Aralarında düzgün aralıklar bulunan birkaç sıvı-yakıt brülörü kullanı-



Şekil 13. Gerçek yanının  $Q(t)$  yanım eğrisine karşı gelen isi çıktıtı simülasyonu için brülör uyarlaması.

nılır. Şekil 13 Belirli bir  $Q(t)$  yanım eğrisinin isi çıktımasını simile etmek için olası brülör düzenlemesini göstermektedir. Tekil brülörleri ayarlamaksızın elde edilen eğri, bir adım fonksiyonu üretir. Brülörleri ayarlayarak, hemen hemen adsız bir  $Q(t)$  eğri fonksiyonuna ulaşmak olanaklıdır.

Brülör alevlerinin büyük yüksekliklere ulaşmasını önlemek için ve yanım alanının üzerindeki isi çıktısının üniformluğunu sağlamak üzere, dizisinin üzerine yatay dağılım için bir saptırma plakası yerleştirilir. (Şekil 12)

Artan isi çıktı miktarlarının ve artan yanım alanının simülasyonuna olanak veren bu yöntem, özellikle iç mahallerde yıpranmaya neden isi çıktı durumlarında kullanılır (ticaret fuarı salonları, kara yolu tunelleri, alarm sistemleri vb).

Şekil 13'deki örnek 1,2 MW'a kadar olan isi çıktı miktarlarını göstermektedir. Sadece işlevsel testlerin ötesinde, bu araştırmalar bina elemanlarının yüzey sıcaklıklarını olduğu kadar sıcaklık dağılımını belirlemekte de kullanılır.

#### 4.3. Yanım Simülasyon Kaynağı Olarak Yanar Tepilerin Kullanımı

##### 4.3.1. Simülasyon Kaynakları Olarak Yanar Tavaların Kullanılması

Yanım simülasyon testlerinde yanar tavaların kullanılması, isi kaynağı başına nispeten yüksek ve sabit isi miktarlarının elde edilmesine olanak verirken, yüksek binalarda duman egzoz sistemlerinin doğrulanması için ve kaldırma kuvvetinin tahrif ettiği duman dağılım momentuminun duman kontrol sisteminin etkinliği bakımından kritik olduğu yerler için özellikle uygundur.

İz sadece doğrudan biçimde olanaklıdır. Diğer değerlendirmeler, Bölüm 4.2.2'ye göre, benzerlik yasaları dikkate alınarak dönüştürülmelidir. İçerisinde fuel oil yakılan meal yakma tavaları yanın simülasyon kaynakları olarak yangındaki belirli bir alan için uygundur. Yanmatta olan tavayı bir su dolu geniş tepsinin içerisinde koyarak, toplam yanma zamanı içerisinde uniform bir ısı çıkışını sağlayacaktır. Örneğin denatüre edilmiş etanol (% 96 hacimsel) gibi bol miktarda isı çıkarıcı bir uygundur yakıt kullanılabilir.

Tablo 10'da yakma tavaları ve bunlarda etanol yakılması halinde elde edilecek ısı çıktıları gösterilmektedir.

Önerilen yakıt miktarı, en az 10 dakika boyunca sabit bir yanın kademesi oluşturacaktır (sabit bir ısı çıkıştı). Dışarı su tepsilerindeki su miktarı, yakıt yanmazken tavaların yüzmesini önleyecek biçimde belirlenmelidir.

Düzen duman hüzmesi bölgeleri için (aralıklı alev yüksekliğine kadar) AS 4391-199'a göre Thomas ve Hinkey formülleri kullanılarak hüzme karakteristikleri verilebilir. Heskestad'ın [3] hüzme formülü, alevden uzak bölgelerde doğru sonuçlar verir.

Yakma tavalarının sayısı	Yakma tavalarının boyutları (LxBxH), mm	Su tepsilerinin boyutları (LxBxH), mm	Yakma tavası başına etanol miktarı, l	Toplam ısı çıktı miktarı, kW
1	427x297x65	495x350x180	2,5	60
1	594x420x130	700x495x130	5,5	140
1	841x595x90	990x700x180	13	340
2	841x595x130	990x700x180	15	700
4	841x594x130	990x700x180	16	1500

Tablo 10. Isı kaynağı başına yanma tavaların sayısı, tavaların iç boyutları, AS 4392'ye göre önerilen yakıt ve ısıl çıktı miktarları.

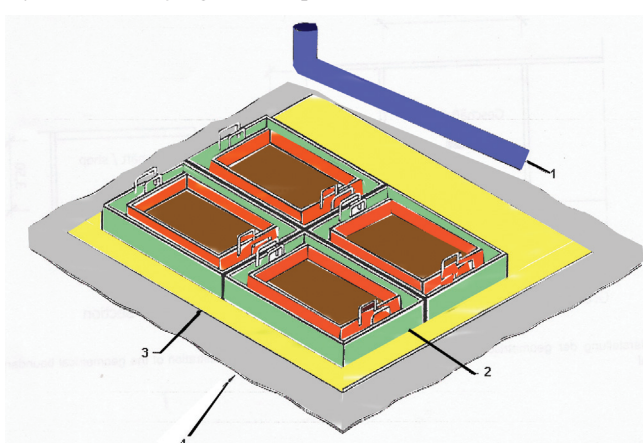
#### 4.3.2. Kaynak Uyarlamasının Tanımlanması

İlkeler olara yanın simülasyon kaynakları, boyutlandırma yanınına yeteri kadar yakın değerler sağlanacak biçimde boyutlandırılacak ve uyarlanacaktır.

#### 4.3.3. Güvenlik Önlemleri

Yüksek alevlenme yeteneğindeki yakıtlar ve açık alevlerin işlem gördüğü binalarda güvenlik önlemleri alınmalıdır.

Yakma tavaları, yanmayan bir allığın üzerine yerleştirilmelidir (örneğin kalsiyum silikat tablaları); diğer kolay yanın malzemeler, test sırasında yakma tavalarından uzakta bulundurulacaktır. Yakma tavalarına yakın olan bina yüzeylerinin sıcak gazlardan ve radyatif ısından korunması gereklidir. İlkeler olara, ısı çıkışını tavada yakıtın tamamen yanmasıyla tamamlanır. Yakıt bitmeden alevin durdurulması gerektiğinde yakma tavalarını (kapak plakaları, yanın söndürücüler) suya daldırmak için gerekli ekipman hazır olmalıdır.



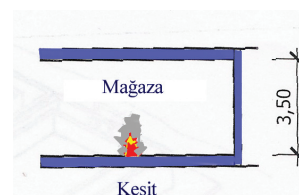
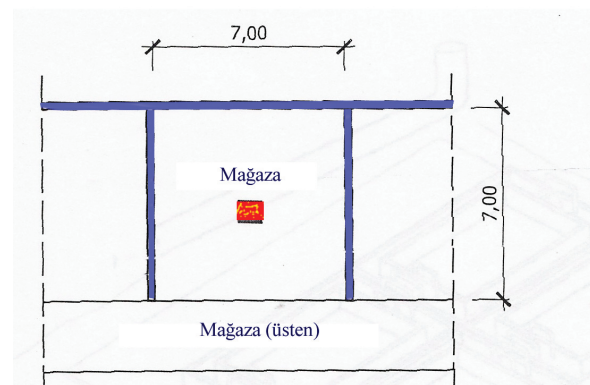
Şekil 14. AS 4391-1999'a göre belirlenen toplam ısı çıktısı 1,5 kW olan bir test düzeni.

1- Sis (aerosol) beslemesi,

2- Tava uyarlaması,

3- Su geçirmez alçık,

4- Alçıpan.



Şekil 15. Bir mağazanın geometrik sınırlarının gösterimi.

#### 5.1. Sprinkler Donanımı Bir Mağazada Yangın Eğrilerinin Belirlenmesi

Bu rehber kitaptaki yanın eğrileri, bir alışveriş merkezindeki atriumla bağlantısı olan bir mağaza için çıkartılacaktır.

Seçilenler:

- Birim malın başına maksimum ısı çıkışısı, Tablo 2'de belirtildiği gibi satış alanlarında  $\dot{q}_f = 500 \text{ kW/m}^2$ ,
- Yanın şiddeti yoğunluğu Tablo 1'den, hızlı yanın varsayımlı ile  $\alpha = 0,047 \text{ kW/s}^2$ ,
- Dumana tepki veren otomatik yanın dedektörleri kullanımı,
- Otomatik yanın söndürme sisteminin uyarlanması: sprinkler, normal tepki verme sıcaklığı:  $68^\circ\text{C}$ , RTI=80 ( $\text{s.m}^{0.5}$ )
- Yanın ekibinin girişim süresi: normal



## Yüksek enerjili yangın için yanım eğrileri

### Aşama 5

Sınırlı koşulları

- $t_{1a}=120$  s Tablo 3'e göre alarmın çalışmasından önce geçen zaman
- $t_{2b}=780$  s Tablo 4'e göre yanım ekibinin girişiminin başlamasına kadar olan süre

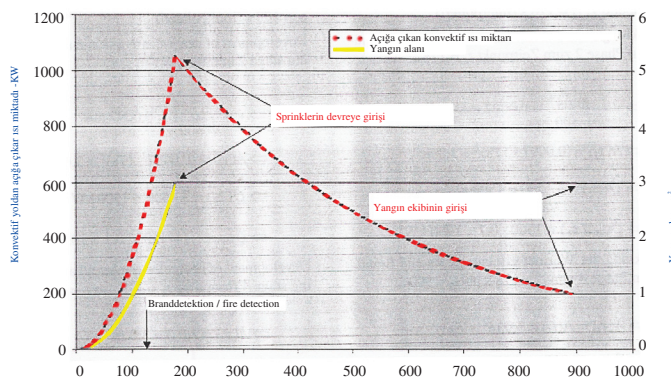
$$\Rightarrow t_5=120 \text{ s} + 780 \text{ s} = 900 \text{ s}$$

### Aşama 2 / Aşama 4

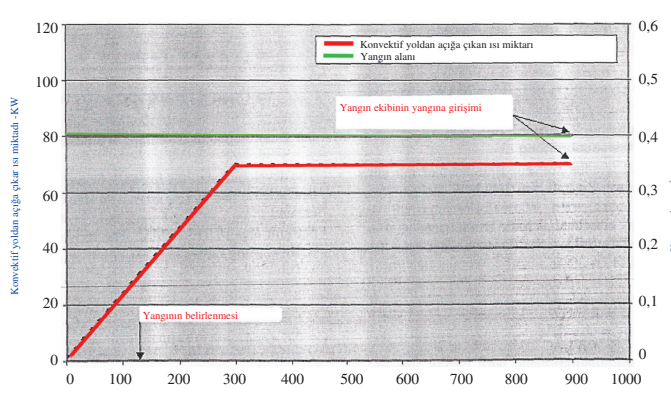
Sprinklerin çalışması;

Sprinklerin çalışmaya başladığı zaman Bölüm 3.5'de verildiği gibi belirlenir. Aşağıdaki girdi parametreleri varsayılmıştır:

- $h=3,5$  m (yanım alanı ile tavan arasındaki uzaklık)
- Tavan ile sprinkler diskleri arasındaki uzaklık: 10 cm
- $\alpha=0,0047 \text{ kW/s}^2$



Şekil 16. Yüksek enerjili yanım: Açığa çıkan konvektif ısı miktarı ile yanım alanının gösterimi.



Şekil 17. Düşük enerjili yanım: Çıkan konvektif ısı miktarı ile yanım alanının gösterimi.

⇒ Sprinklerin etkinleşme süresi, Tablo 7'den;  $t_4=178$  s (interpolasyonla hesaplandı).

Aşama 2'de  $t_4=178$ 'de açığa çıkan ısı miktarının gelişimi ve yanım alanı

$$\Rightarrow v = \sqrt{\frac{0,047}{500}} = 0,0097 \text{ m/s}$$

$$\Rightarrow A(\tau_2) = (0,0097 \times 178)^2 = 3,0 \text{ m}^2$$

$$\Rightarrow \dot{Q}(\tau_2) = 3.500 = 1500 \text{ kW}$$

$$\Rightarrow \dot{Q}_{konv}(\tau_2) = 1500 \cdot 0,7 = 1050 \text{ kW}$$

Aşama 4'de  $t_4=178$  s'den  $t_5=900$  s'ye kadar açığa çıkan ısı miktarının gelişimi ve yanım alanı;

$$\Rightarrow A(\tau_4) = A(t_4) = 3,0 \text{ m}^2$$

$$\Rightarrow \dot{Q}(\tau_4) = 1500 \cdot e^{-0,0023 \cdot 178}$$

$$\Rightarrow \dot{Q}(\tau_5) = 1500 \cdot e^{-0,0023(900-178)} = 285 \text{ kW}$$

$$\Rightarrow \dot{Q}_{konv}(\tau_5) = 285 \cdot 0,7 = 200 \text{ kW}$$

Düşük enerjili yanım için yanım eğrileri,

### Aşama 1

$$\bullet t_5=900 \text{ s}$$

• sprinkler etkinleşmiyor

$$\Rightarrow A(\tau_1) = A(t_4) = 0,4 \text{ m}^2$$

$$\Rightarrow \dot{Q}(\tau_1 > 300 \text{ s}) = 100 \text{ kW}$$

$$\Rightarrow \dot{Q}_{konv}(\tau_1) = 100 \cdot 0,7 = 70 \text{ kW}$$

## 5.2. Duman Gazi Dağılımının Niceliksel Değerlendirilmesi

Yangının gelişimi, 1,43 MW'luk bir ısı çıktıısı ile temsil edilecektir. Birim alan başına maksimum ısı çıktıısı olan  $715 \text{ kW/m}^2$  için hesaplanan yanım alanı  $2 \text{ m}^2$ 'dir. O zaman konvektif ısı çıktıısı, eşitlik(17) kullanılarak;

$$\dot{Q}_{konv} = 0,7 \cdot \dot{Q}$$

$$\dot{Q}_{konv} = 1,0 \text{ MW} \text{ dir.}$$

Test serisi 3'e göre yanım simülasyonu 150 kW'luk bir konvektif ısı çıktıısı için çalıştırılır. Bu da aşağıdaki benzerlik faktörüne götürür;

$$f_{\dot{Q}} = \frac{\dot{Q}_M}{\dot{Q}_0} = \frac{150 \text{ kW}}{1000 \text{ kW}} = 0,15$$

$$f_{\Delta\theta} = \frac{f_{\dot{Q}}}{f_w} = \frac{0,15}{f_w}$$

Bu eşitliğin Eşitlik (33)'e dahil edilmesiyle  $f_w$  için benzerlik faktörü;

$$f_w^3 = 0,15$$

$$f_w = \frac{w_M}{w_0} = \sqrt[3]{0,15} = 0,53$$

$$w_M = 0,5w_0$$

buna göre,

$$\dot{V}_M = 0,53 \dot{V}_0$$

ve;

$$f_{\Delta\theta} = \frac{0,15}{0,53} = 0,28$$

Jet biçimlendirme bölgesinin sonu için, gerçek odada duman gazi kütlesel akışı Thomas ve Hinkley tarafından açıklanan eşitlik (21) kullanılarak hesaplanır;

$$\dot{m}_0 = 4,5 \text{ kg/s}$$



jet oluşturma bölgesinin uzunluğu

$$l_F = 2\sqrt{2} = 2,83 \text{ m}$$

### Durum 1: z=l<sub>F</sub> yüksekliğinde test duman gazi beslemesi

Isıtılması gereken hava kütlesi bu durumda,

$$\dot{m}_M = 53\dot{m}_0 = 53,4, \text{ kg/s} = 2,385 \text{ kg/s}$$

Alternatif olarak hava debisi;

$$\dot{V}_M = \frac{2,385 \text{ kg/s}}{1,2 \text{ kg/m}^3} = 1,988 \text{ m}^3/\text{s}$$

burada  $\rho = 1,2 \text{ kg/m}^3$  tür.

$$\Delta\vartheta_0 = \frac{Q_{qkonv}}{\dot{m}_{pl} \cdot C_{p,Rauch}} \rightarrow \Delta\vartheta_0 = 222 \text{ K}$$

$\vartheta_{so}$ 'un ortalama jet sıcaklığı orijinal jet biçimlendirme bölgesinin sonundaki sıcaklık olup,

$\vartheta_{so} = (222+20) = 242 \text{ }^\circ\text{C}$  olarak belirlenir. Bu durumda eldeki tam sıcaklık artışı,

$$\Delta\vartheta_M = \Delta\vartheta_0 \cdot 0,28 = 62,16 \text{ }^\circ\text{C}$$

Buradan, jet biçimlendirme bölgesinin sonundaki ortalama sıcaklık (modeldeki)  $\vartheta_{SM}$ , aşağıdaki gibi hesaplanır:

$$\vartheta_{SM} = 82,16 \text{ }^\circ\text{C}$$

Not: Yangın simülasyon kaynağının yukarıdaki boyutlandırması her zaman gösterilecek veya belgelendirilecektir. Güç kullanan (fanlı) duman kontrol sistemleri durumunda, örneğin dumansız tabakaların sıcaklığı için niceliksel ifaelere yer verecek ve çekme havasının debisi benzerlik faktörü  $f_v$  ile (bu durumda  $f_v=0,53$ ) azaltılacaktır. Birçok durumda bu, havalandırma sisteminde kapsamlı ayarlamalara gerek gösterir.

### Durum 2: Test duman gazının z ≠ l<sub>F</sub> yüksekliğinde besleme yapması

$$z=1,7 \text{ m}; l_F=2,83 \text{ m}$$

$z \neq l_F$  ise; orijinal duman gazi kütlesel debisi dönüştürülmeliidir;

$z$  yüksekliğindeki kütlesel debi Eşitlik (22) kullanılarak hesaplanır;

Bu sonuçoan model testinde aşağıdaki sıcaklık farkı elde edilir;

$$\frac{\dot{m}_0(l_F)}{\dot{m}_0(z)} = \left( \frac{2,83 - (-0,32)}{1,70 - (-0,32)} \right)^{1,667} = 2,1$$

Buna göre,  $z$  yükseklikte akması gereken duman gazi kütlesi;

$$\dot{m}_0(z) = \frac{4,5 \text{ kg/s}}{2,1} = 2,14 \text{ kg/s}$$

Yangın simülasyon düzeneği aşağıdaki gaz debisini üretir;

$$\dot{m}_M(z) = 2,14 \text{ kg/s} \cdot 0,53 = 1,13 \text{ kg/s}$$

Buna göre hacimsel aki miktarı(debi);

$$\dot{V}_M(z) = \frac{1,13 \text{ kg/s}}{1,2 \text{ kg/m}^3} = 0,945 \text{ m}^3/\text{s}$$

Hüzmedeki (orijinal) duman gazının  $z=1,7$  m'deki ortalama sıcaklığı;

$$\Delta\vartheta_0 = \frac{1000 \text{ kW}}{2,14 \text{ kg/s} \cdot 1,0 \text{ kJ/kg.K}} = 467,3 \text{ }^\circ\text{C}$$

$$\Delta\vartheta_M = \Delta\vartheta_0 \cdot 0,28 = 130,8 \text{ }^\circ\text{C}$$

$$\vartheta_R = 20 \text{ }^\circ\text{C}$$

olarak hesaplanır.

Burada; oda sıcaklığı  $\vartheta_\infty$  dur. Buradan,  $z$  yükseklikte ortalama jet sıcaklığı (modeldeki)  $\vartheta_{SM}$  aşağıdaki gibi hesaplanır;

$$\vartheta_{SM} = (130,8 + 20) \text{ }^\circ\text{C} = 150,8 \text{ }^\circ\text{C}$$

## 6. Kaynaklar

[1] Seifert,U; Stein, J.: Rauchversuche in Gebäuden.VFDB(2001) 3,S,123-128.

[2] McGrattan,K,B et al.Fir dynamics Simulator (Version 2)-Technical Reference Guide. NISTIR 6783.NIST National Institute of Standards and Technology, Gaithsburg (USA)2001.

[3] Brein, D.: Anwendungsbereiche und-grenzenfur praxisrelevante Modellensatze zur Bewertung der Rauschabschaltung für Brandabschutztechnik, Karlsruhe, Dezember, 2001.

[4] Evans ,Davis D.: Ceiling Jet Flows in SFPE Handbook of Fire Protection Engineering 2nd Edition Section 2/Chapter 4, National Fire Protection Association, Quincy,Massachusetts, 1995.

[5] Davis ,William D.:The Zone Fire Model Jet: A model for The Prediction of Detector Activation and Gas Temperatures in the Presence of Smoke Layer. NISTIR 6324, National Institute of Standards and Technology, Gaithsburg, Maryland, May 1999.

[6] Ergebnisbericht zur Beureitung von Branden an Schienenfahrzeugen als Bemessungsbrande zur brandschutztechnider Auslagung von oberirdischen Personenverkehrsanlagen der Deutschen Auslegung von oberirdischen Personennehheslangen der Deutschen Bahn AG (Fassung 09/2000).

[7] Paschen,C.: Katalog Branszenarien Universitat Wuppertal (unveröffentliche Unterlagen), Original-Werte aus:Loveseat fire time line.Fire Scenarios, Building and Fire Tesearch Laoratory,NIST National Institute of Standards and Technology, Gaithsburg, (USA) Internet address: www.bfrl.nist.gov.

[8] Paschen,C.: Katalog Brandszenarien, Universitat Wuppertal (unveröffentlichte Unterlagen).

[9] Steinert,C.:Experimentelle Untersuchungen zum Abbrand und Feuerübersprunsvorhalten von Personenkraftwagen, vfb (2000)4,S.163-172.

## Bibliyografi

Teknik Kurallar

AS 4391-1999:1999-01-19 Smoke Management Systems: Hot smoke test.

DIN 18232 Rauch-und Warmerefreihaltung(Smoke and heat control systems). Berlin: Beuth Verlag.

DIN EN 54-7:2001-03 Brandmeldeanlagen: Teil 7:Rauchmelder; Punkformige Melder nach dem Steurlicht-Durchlicht-oder Ionisationprinzip: F,Deutsche Fassung EN 54-7:2000,(Fire detection and alarm systems: Part 7:Smoke detectors: Point detectors using scattered light, transmitted light or ionization: German version EN 54-7:2000)Berlin:Beuth Verlag.

DIN EN 12101-1:1995-11 Anlagen zur Kontrolle von Rauch-und Warmeströmungen; Teil 1:Spezifikation für Rauschürzen:Anforderungen und Prüfverfahren:Deutsche Fassung prEN 12-101-1:1995(Smoke and heat control systems :Part 1,:Specification for



smoke curtains: Requirements and test methods: German version prEN 12101-1:1995) Berlin: Beuth Verlag

DIN EN 12259-1:1995-11 Ortsfeste Löschanlagen; Bauteile für Sprinkler und Sprühwasserlangen; Teil 1: Sprinkler: Deutsche Fassung EN 12259-1:2001(Fixed fire fighting systems :Components for sprinkler and water spray systems:Part 1:Sprinklers:German version EN 12259-1:2001) Berlin,Beuth Verlag

DIN VDE 0833 Gefahrenmeldeanlagen für Brand, Einbruch und Überfall (Alarm systems for fire, intrusion and hold up) Berlin: Beuth Verlag

VdS 2092:1999-89 Richtlinien für Sprinkelanlagen; Planung und Einbau. Zurückgezogen seit 2003-01. Nachfolgedokument VdS CEA 4001:2003-01

VdS 2827:2005-09 Bemessungsbrande für Brandsimulationen und Brandschutzkonzepte. Berlin: Beuth Verlag

VdS CEA 4001:2005-09 Richtlinien für Sprinkleranlagen: Planung und Einbau, Berlin: Beuth Verlag

VDI 6019 Blatt 2 Ingenieurverfahren zur Bemessung der Rauchableitung aus Gebäuden; Ingenieurmethoden(in Vorbereitung)

#### EK: Dönüşüm Eşitlikleri

**A1 [4] e göre, tavanın altındaki sıcaklık gelişimi ve hızı belirlenmesinde kullanılan eşitlikler:**

$$T - T_{\infty} = \Delta T_2^* [K^{2/5} (T_{\infty}/g) \alpha^{2/5} h_{max}^{-3/5}] \quad (A1)$$

$$U = U_2^* (K^{1/5} \alpha^{1/5} h_{max}^{1/5}) \quad (A2)$$

Burada;

$$\Delta T_2^* = \begin{cases} 0 & t_2^* \leq t_f^* \\ \left( \frac{t_2^* - t_f^*}{0,188 + 0,313 \cdot r_{max}/h_{max}} \right)^{4/3} & t_2^* > t_f^* \end{cases} \quad (A3)$$

$$t_2^* = \tau_2 / (K^{0.2} \alpha^{-0.2} h_{max}^{0.8}) \quad (A4)$$

$$t_f^* = 0,954(1 + r_{max}/h_{max}) \quad (A5)$$

$$K = g / (c_p T_{\infty} \rho_{\infty}) \quad (A6)$$

$$U_2^* = 0,59 (r_{max}/h_{max})^{0.63} \sqrt{\Delta T_2^*} \quad (A7)$$

$T_{\infty}$  = Çevresel sıcaklık, K

$T$  = Duman gazı sıcaklığı (tavana yakın), K

$\Delta T_2^*$  = Boyutsuz duman gazı sıcaklığı (yardımcı değişken),

$U_2^*$  = Boyutsuz duman gazı sıcaklığı (yardımcı değişken)

$U$  = Duman gazı hızı (tavana yakın), m/s

$\Delta t_2^*$  = Boyutsuz zaman

$t_f^*$  = Duman gazlarının yanın alanından araştırma altındaki noktaya kadar yükseltmesini dikkate alan yardımcı değişken,

$\tau_2$  = Aşama 2'deki zaman değişkeni, s

$K$  = Yardımcı katsayı,  $m^4(kJ/s^2)$

$\rho_{\infty}$  = Çevre sıcaklığında havanın yoğunluğu,  $kg/m^3$

$c_p$  = Ozgül ısı,  $kJ/(kg.K)$

$g$  = Yer çekimi ivmesi,  $m/s^2$

$\alpha$  = Yangın şiddeti katsayı,  $kW/s^2$

$h_{max}$  = Yangın alanı ile tavan arasındaki maksimum uzaklık, m

$r_{max}$  = Duman hızmesinin ekseni ile maksimum sıcaklık detektörü arasındaki yatay uzaklık, m

**A2 [5]'e göre sprinklerin tepki-elemani sıcaklığının belirlenmesi için eşitlik**

$$\frac{dT_e}{dt} = \frac{\sqrt{U}}{RTI} \left[ T - T_e - \frac{C}{\sqrt{U}} \cdot (T_e - T_{\infty}) \right] \quad (A8)$$

$T_e$  = Tepki-elemani sıcaklığı, K

$T$  = Duman gazı sıcaklığı, K

$RTI$  = Tepki süresi endeksi,  $\sqrt{(s.m)}$

$U$  = Duman gazı hızı (tavana yakın), m/s

$C$  = İletkenlik katsayı,  $\sqrt{(m/s)}$

#### Çeviren

Yük. Mak. Müh. Nejat DEMİRCİOĞLU YTÜ Makine Mühendislik Fakültesi'ni bitirdikten sonra, aynı üniversitede lisansüstü eğitimi tamamlamış, ABD'de kısa süreli bir Air Conditioning programından sertifika alarak DEU IMYO'da soğutma sistemleri programını yürütmüş ve bu görevden emekli olmuştur.

"zamanı değerli kılan,  
içine sığdırabildiğiniz tecrübelerdir"



neredeyse yarı asıra uzanan tecrübe



Merkez

Cetin Emec Bulvarı 73. Sok.  
No: 4 Oveçler - ANKARA  
Tel: 0 312 472 67 00 (Pbx)  
Fax: 0 312 472 67 77

Fabrika

Istanbul Yolu 37. Km.  
Kazan - ANKARA  
Tel: 0 312 814 12 16 (Pbx)  
Fax: 0 312 472 67 77

Istanbul Bölge

19 Mayıs Mah. Sümer Sok.  
Zitaş İş Merkezi D-2 Blok  
Daire: 7 Kozyatağı - İSTANBUL  
Tel: 0 216 410 11 88  
Fax: 0 216 410 11 76

İzmir Bölge

Teknik Malzeme İş Merkezi  
1202/1 Sokak No: 17/218  
Güla Çarşısı - Yenisehir - İZMİR  
Tel: 0 232 459 05 55 (Pbx)  
Fax: 0 232 459 12 92

Adana Bölge

Ziyapşa Bulvarı İbrahim  
Özekici Apt. Asmakat  
No: 62 ADANA  
Tel: 0 322 459 00 40 (Pbx)  
Fax: 0 322 459 01 80